## 情報システム工学 生命現象の熱力学

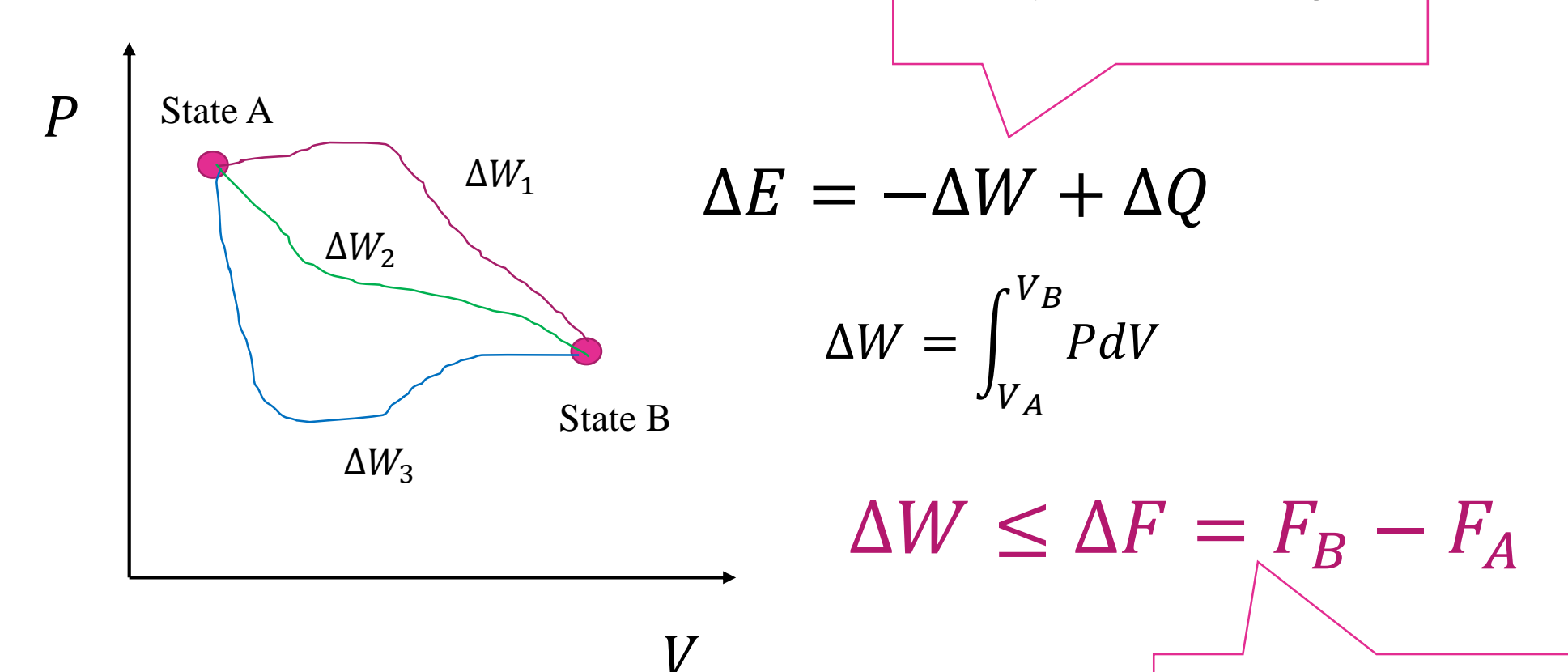
長谷川禎彦

#### 微小系における熱力学

- 熱力学は蒸気機関をはじめとして、マクロな系に適用されてきた
- ■近年,熱力学は細胞などの非常に小さい系に適用されつつある
- ■このような非常に小さい系では、通常の熱力学は 成立しない
  - ▶ 例えば、熱力学の第二法則は必ずしも成立しない

#### 熱力学

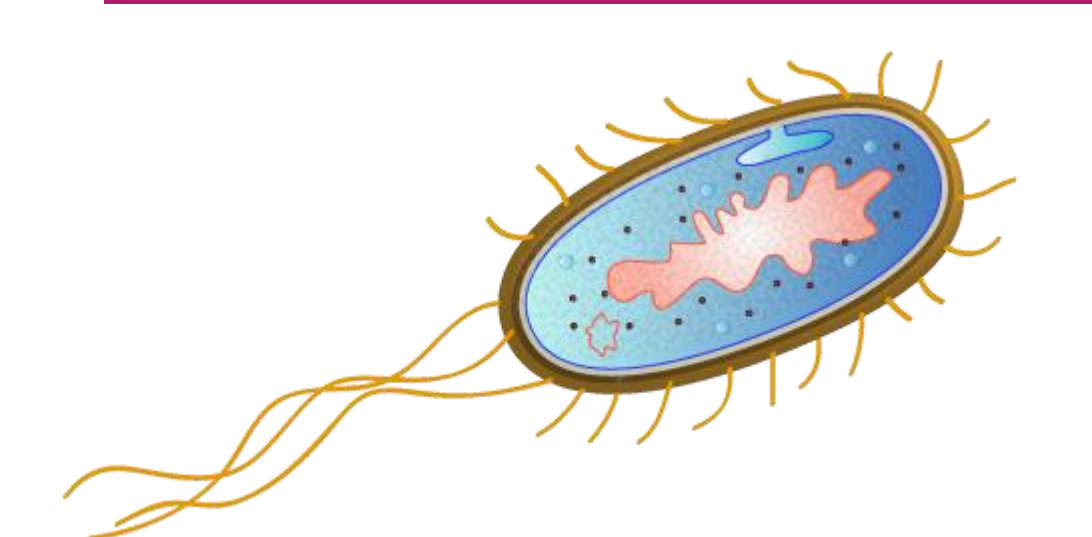
状態AからBに移る際に、取り 出すことのできる仕事



 $F \equiv E - TS$ : ヘルムホルツエネルギー

第二法則

#### 細胞の大きさ



http://togotv.dbcls.jp/ja/togopic.2012.12.html

- 大腸菌の長さは約2µm, 直径約1µm. つまり, 体積はおおよそ10<sup>-15</sup>L.
- 従来の熱力学が想定していたスケールとは10<sup>15</sup> ~ 10<sup>20</sup>くらい異なる.
- ■このような系では、第二法則も破られることがある

### 細胞での化学反応

- 非常に少ない分子数によって起こる
  - ➤ 10<sup>23</sup>スケールVS10~100

## 動画

The red dots are RNA the Proteins fluoresce blue or green.

https://www.youtube.com/watch?v=gnJohznWi3I

# 微笑系における第二法則の破れの直観的な説明

- ギャンブルを考える
  - **▶** *M* : 掛け金
  - ▶ R: リターン
- 多くの人が、何回もゲームを行えば $R \leq M$ 
  - これはギャンブルの第二法則⊗
    - 平均的には必ず負ける
- 小数の人が、少しだけゲームするとR > Mとなることもある

これは「小さい系」に相当する

#### ロシュミットのパラドックス

- 分子や原子のふるまいは量子力学や電磁気学の 法則によって記述できる.
- ■これらの法則は可逆的である.
- つまり、「ある方向に進むのならば、その逆方向に 進むこともこれらの法則には反しない」
- ある時刻で、孤立した系の粒子集団が(x(t), v(t)) の状態にあるとすると、次の時刻t + dtでは系のエントロピーは増大する(熱力学の第二法則)
- ■しかし、粒子の座標はそのままで、速度を逆にした系を考えると、*t* + *dt*ではエントロピーは減少する

#### ロシュミットのパラドックス

## 動画

$$S = -\sum P \ln P$$

$$S = -\ln\frac{1}{2} = 0.69$$

終わりの位置で、全ての 粒子の速度を逆向きにする

$$S = -\ln 1 = 0$$

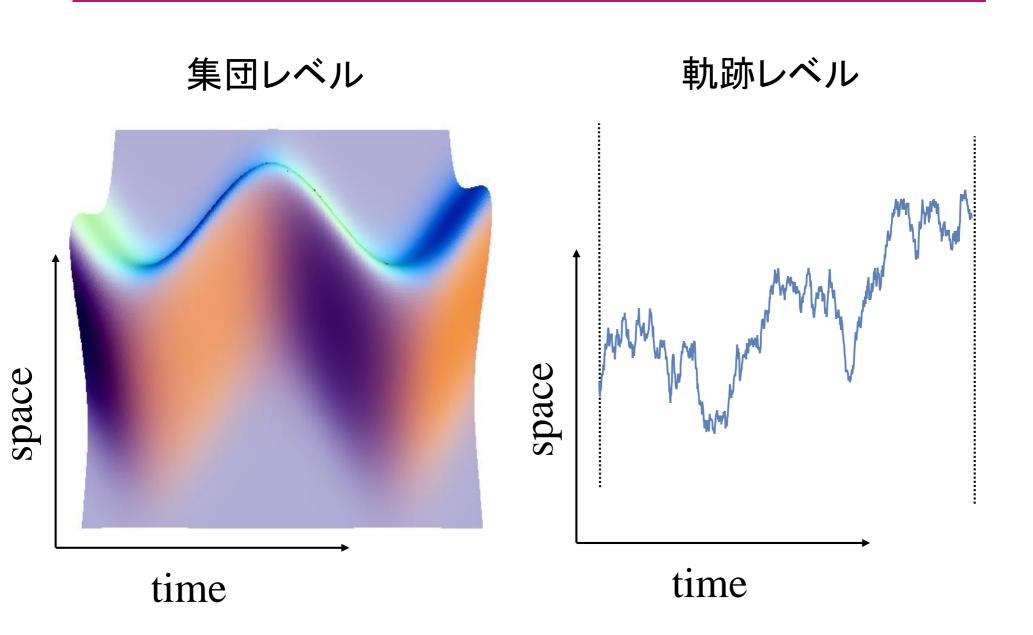
#### ロシュミットのパラドックス

- ■このように、力学的に正しくても、エントロピーが減 少する場合もある
- これは、熱力学の基本法則「熱力学の第二法則」を 破っているのではないか?
- ■確率熱力学によって、ロシュミットのパラドックスに対する回答が得られる

#### 確率熱力学

- 少数の反応(その極限の一分子)のダイナミクスに 対する熱力学
- 従来の熱力学が~ 10<sup>23</sup>オーダーでの熱力学がであったのに対し、はるかに少ない分子に対する熱力学

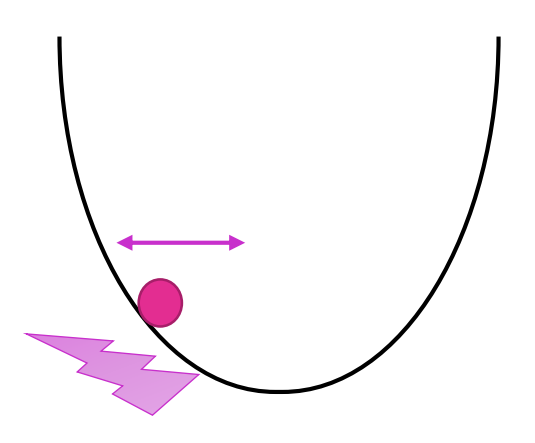
## 集合レベルと軌跡レベルの熱力学



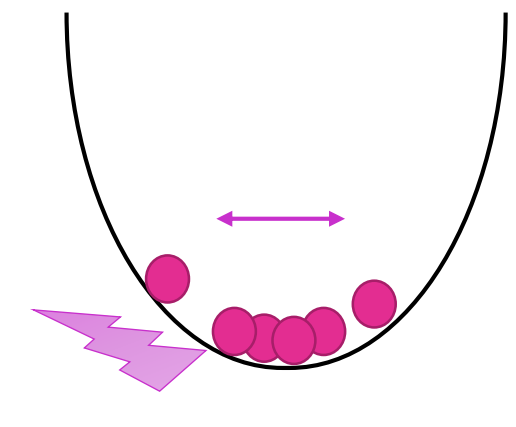
#### 集合レベルの熱力学

ポテンシャル内の粒子 ポテンシャル内の粒子

粒子の確率分布

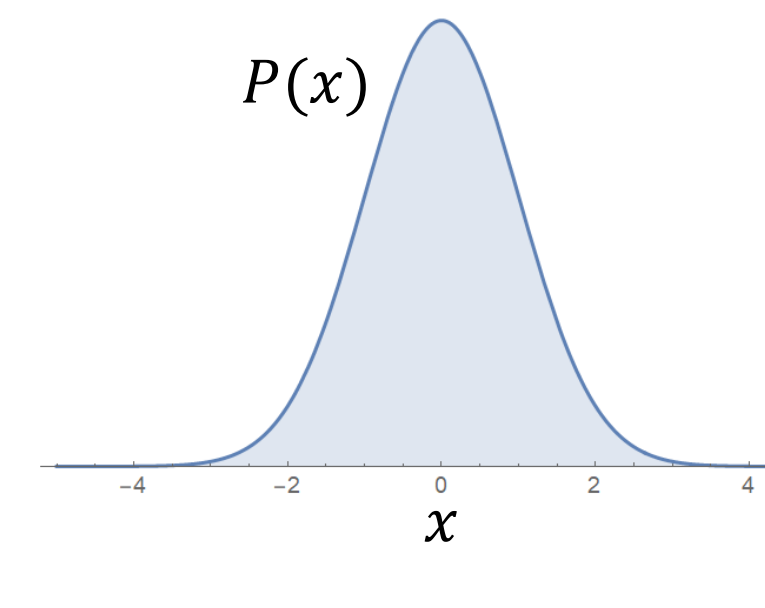


Thermal fluctuation



 $\chi$ 

Thermal fluctuation



粒子の平均エネルギー

 $\boldsymbol{\chi}$ 

$$E = \int E(x)P(x)dx$$

熱力学の第一法則

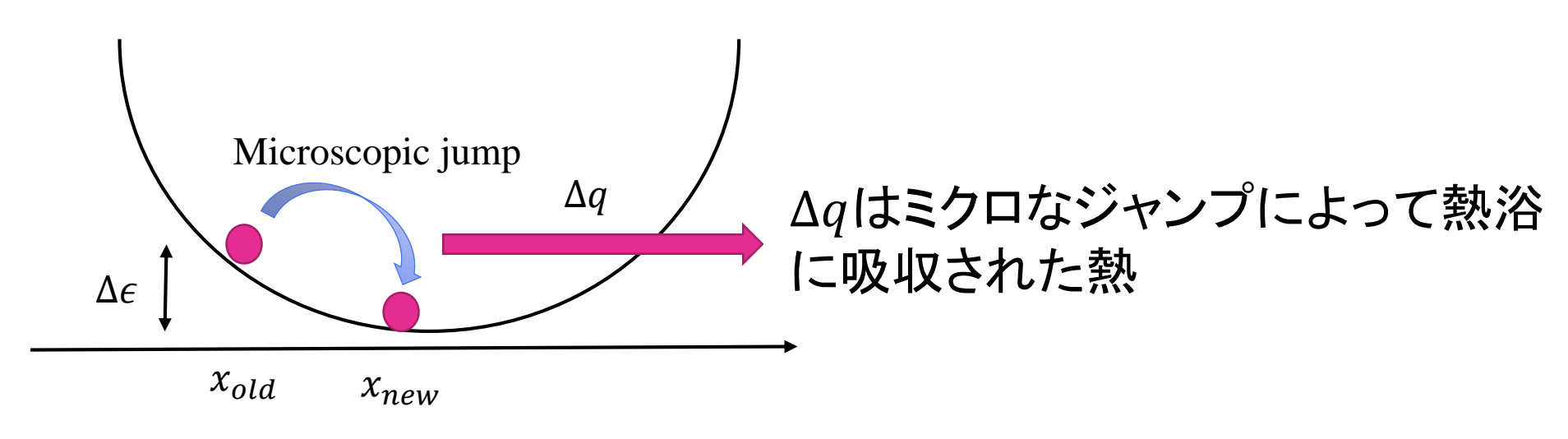
$$\Delta E = \Delta W - \Delta Q = 0$$

Work applied to a particle = 0

Heat absorbed by the reservoir= 0

#### 軌跡レベルの熱力学

#### ポテンシャル中の粒子



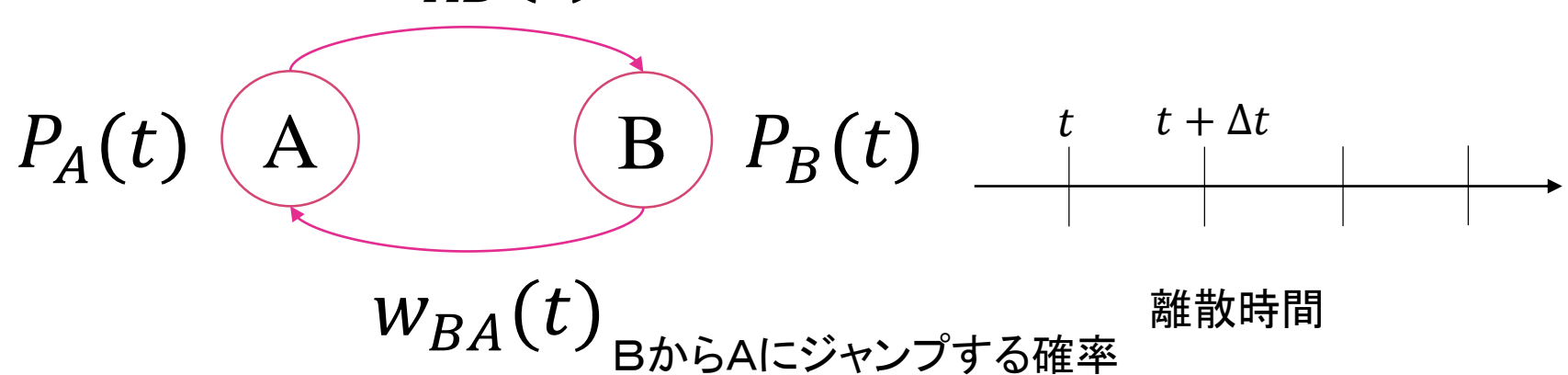
$$\Delta \epsilon = E(x_{new}) - E(x_{old})$$
: エネルギーの差

$$\Delta w = 0$$
:外部から仕事はされていない

$$\Delta \epsilon = \Delta w - \Delta q = -\Delta q$$

#### Master方程式

 $W_{AB}(t)$  AからBにジャンプする確率



■ 確率的な変化を記述するための方程式

$$P_{A}(t + \Delta t) = (1 - w_{AB}(t))P_{A}(t) + w_{BA}(t)P_{B}(t)$$

$$P_{B}(t + \Delta t) = (1 - w_{BA}(t))P_{B}(t) + w_{AB}(t)P_{A}(t)$$

#### Master方程式

$$\frac{P_A(t + \Delta t) - P_A(t)}{\Delta t} = -\frac{w_{AB}(t)}{\Delta t} P_A(t) + \frac{w_{BA}(t)}{\Delta t} P_B(t)$$

$$\frac{P_B(t + \Delta t) - P_B(t)}{\Delta t} = -\frac{w_{BA}(t)}{\Delta t} P_B(t) + \frac{w_{AB}(t)}{\Delta t} P_A(t)$$

$$\lim_{\Delta t \to 0} \frac{w_{BA}(t)}{\Delta t} = W_{BA}(t)$$
は遷移率とすると、

$$\frac{dP_A(t)}{dt} = -W_{AB}(t)P_A(t) + W_{BA}(t)P_B(t) \frac{dP_B(t)}{dt} = -W_{BA}(t)P_B(t) + W_{AB}(t)P_A(t)$$

このような方程式をMaster方程式という

- $W_{mn}(t)$ を $m \rightarrow n$ の遷移率とする.
- $P_n(t)$ を時刻tに状態nに居る確率とする
- 以下のMaster方程式で表される

$$\frac{d}{dt}P_m(t) = \sum_{m'} W_{m'm}(t)P_{m'}(t)$$

ここで $W_{mm} = -\sum_{m'\neq m} W_{mm'}$ の条件を満たす(確率の保存).

これより、下の式も等価な表現である.

$$\frac{d}{dt}P_{m}(t) = \sum_{m' \neq m} (W_{m'm}(t)P_{m'}(t) - W_{mm'}(t)P_{m}(t))$$

■ エントロピーぶは

$$S = -k_B \sum_{m} P_m(t) \ln P_m(t)$$

である. エントロピーの時間変化は 
$$\frac{d}{dt}S(t) = -k_B \sum_{m} \frac{d}{dt} P_m(t) \ln P_m(t)$$

ここで $\sum \dot{P}_m(t)$ は0に なることに注意(確率 の保存より)

$$= -k_B \sum_{m \neq m'}^{m} (P_{m'}W_{m'm} - P_mW_{mm'}) \ln P_m(t)$$

$$= -\frac{k_B}{2} \sum_{m'}^{m \neq m'} (P_{m'}W_{m'm} - P_mW_{mm'}) \ln \frac{P_m}{P_{m'}}$$

■さらに、以下のような分解が可能である.

$$\frac{d}{dt}S = -\frac{k_B}{2} \sum_{m \neq m'} (P_m W_{mm'} - P_{m'} W_{m'm}) \ln \frac{W_{mm'}}{W_{m'm}} + \frac{k_B}{2} \sum_{m \neq m'} (P_m W_{mm'} - P_{m'} W_{m'm}) \ln \frac{P_m W_{mm'}}{P_{m'} W_{m'm}}$$

■それぞれ

$$\dot{S}(t) = -\dot{S}_m(t) + \dot{S}_{\text{tot}}(t)$$

のように置く

■ atta,  $\dot{S}_m$ ,  $\dot{S}_{tot}$ は簡単な式変形で、以下のようにも表せる

$$\dot{S}_{tot}(t) = k_B \sum_{m,m'} P_m(t) W_{mm'}(t) \ln \frac{P_m(t) W_{mm'}(t)}{P_{m'}(t) W_{m'm}(t)}$$

$$\dot{S}_m(t) = k_B \sum_{m,m'} P_m(t) W_{mm'}(t) \ln \frac{W_{mm'}(t)}{W_{m'm}(t)}$$

- まず,  $\dot{S}_{tot}$ は常に $\dot{S}_{tot} \geq 0$ である.  $\triangleright$  これには,  $\ln x \leq x - 1$ を用いると示せる
- 二つ目は、熱浴に移動した熱(つまり、熱浴で増加したエントロピー)と考える
  - これは、後で特定の場合に正しいことが示される
- ■この時

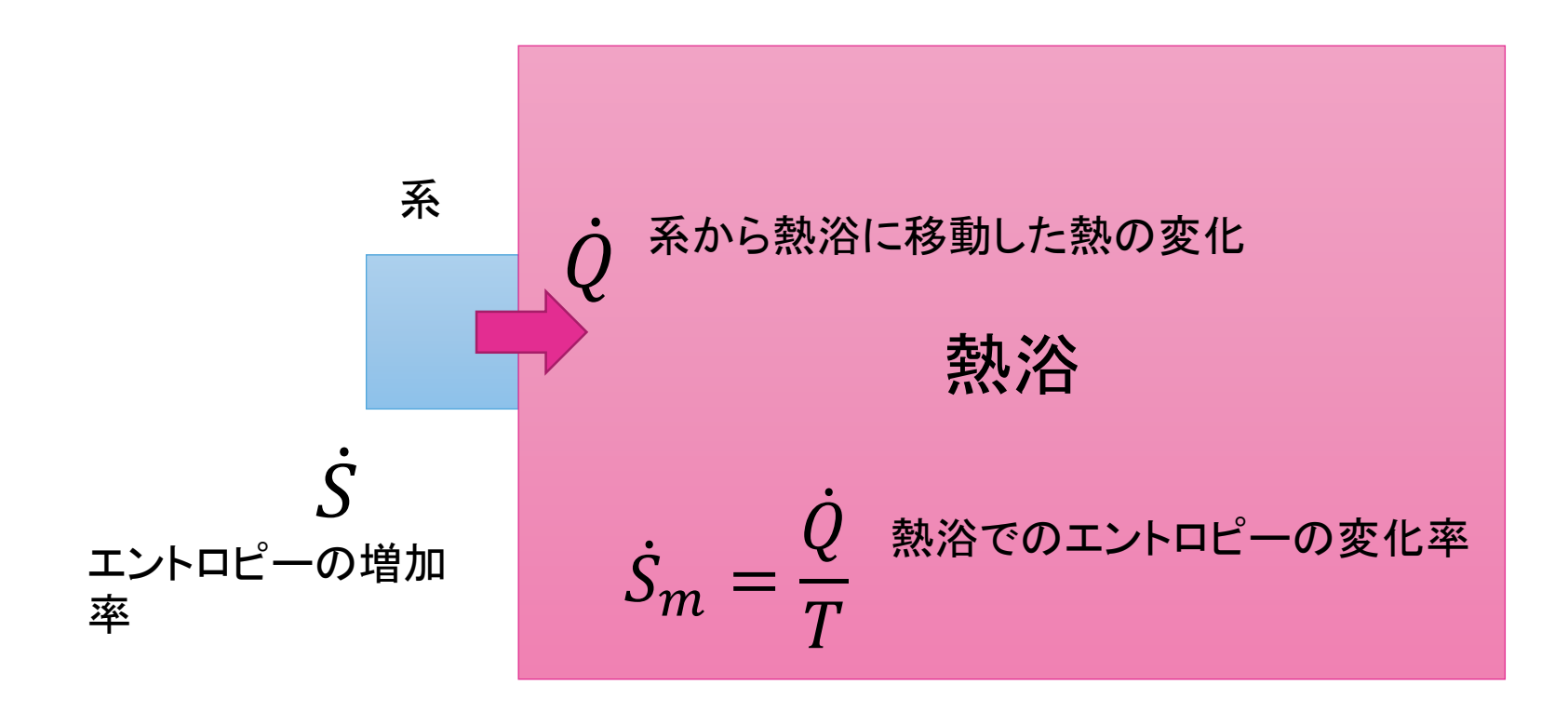
$$\dot{S}_{\text{tot}}(t) = \dot{S}(t) + \dot{S}_m(t)$$

であるので、Sは系のエントロピー、 $S_m$ は熱浴のエントロピーなので、 $S_{tot}$ は全系の全エントロピーと捉えることが可能.  $\dot{S}_{tot}$ はTotal entropy productionという.

#### 数学的な第二法則

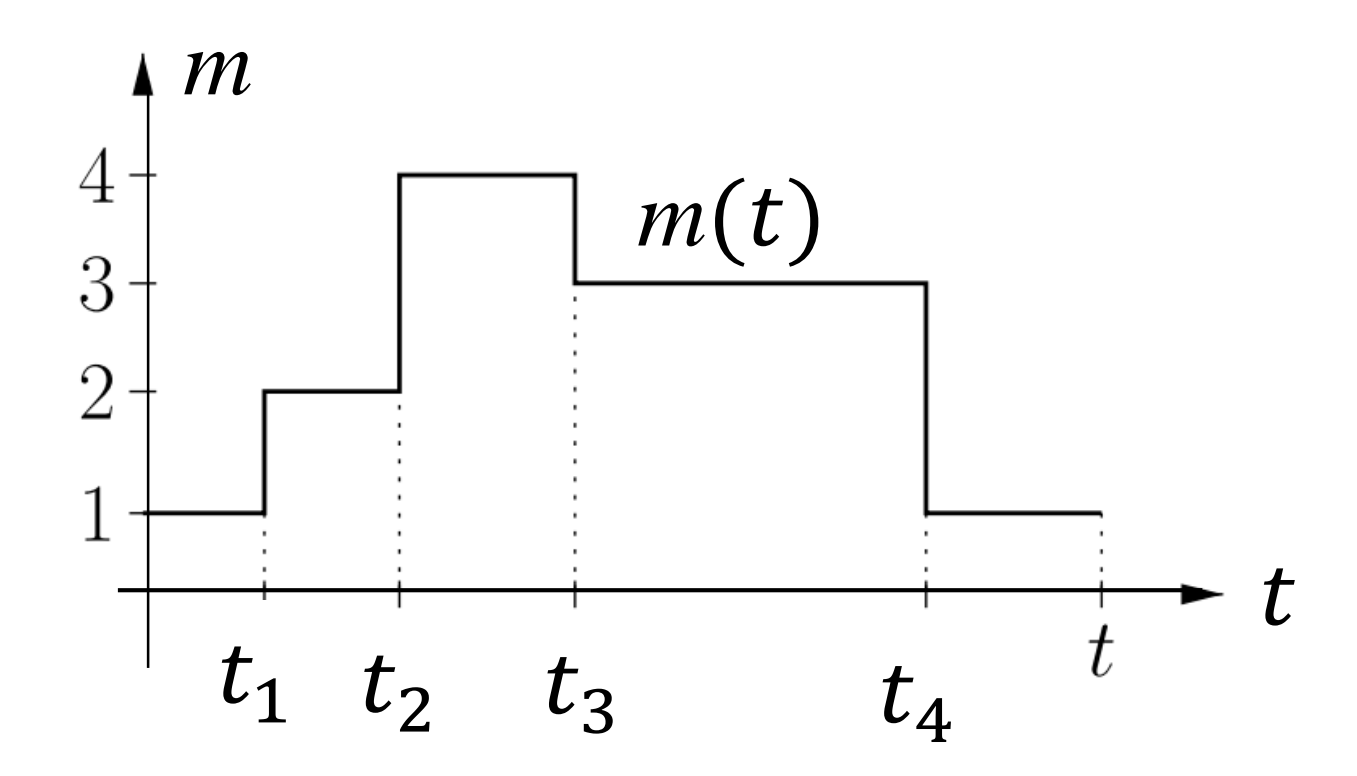
- $\dot{S}_{tot} \ge 0$ の条件は、全系の全エントロピーは増加する、と読み替えることが出来る
- つまり、これはMarkov連鎖レベルでの、熱力学の 第二法則に他ならない
- 一方で、 $\dot{S}_m$ が熱浴に移動した「熱」と捉えたが、これは、local detailed balanceが成立する系の場合は正しい(これについては後述)

#### 集団のダイナミクス

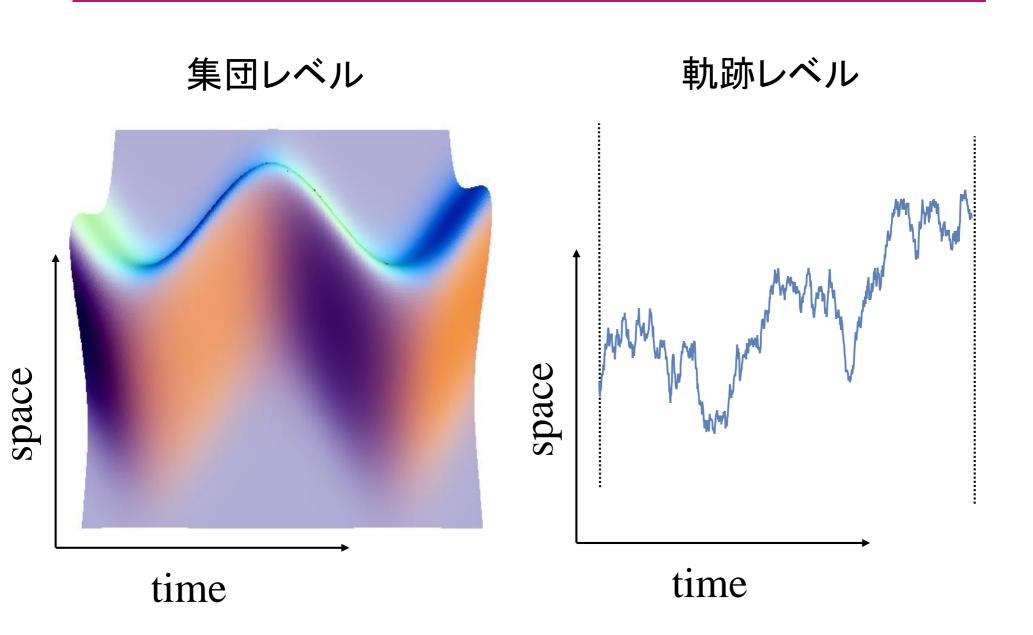


$$\dot{S}_{\text{tot}}(t) = \dot{S}(t) + \dot{S}_m(t)$$

- ■今まで説明したものは、集団レベルのダイナミクス
- 軌跡レベルのダイナミクスも考えることが可能



## 集合レベルと軌跡レベルの熱力学



■エントロピーは以下で定義される

$$S(t) = -k_B \sum_{m} P_m(t) \ln P_m(t)$$

■ これは、- ln  $P_m(t)$ に対して、期待値を計算していると考えることが可能。つまり、軌跡レベルのエントロピーを以下で定義することができる

$$s(t) = -k_B \ln P_{m(t)}(t)$$

■ *s*(*t*)は確率エントロピーと呼ばれる

#### 軌跡レベルのダイナミクス 【予備知識】

■以下の恒等式を用いる

$$f_{m(t)}(t) = \sum_{m} \delta_{m,m(t)} f_m(t)$$

 $f_m(t)$  may be  $P_m(t)$ 

 $f_{m(t)}(t)$ の時間微分を計算すると

$$\dot{f}_{m(t)}(t) = \sum_{m} \left( \dot{\delta}_{m,m(t)} f_m(t) + \delta_{m,m(t)} \dot{f}_m(t) \right)$$

ジャンプによる $f_{m(t)}(t)$  の変化分

 $f_m(t)$ の変化による $f_{m(t)}(t)$ 変化分

#### 軌跡レベルのダイナミクス 【予備知識】

$$\dot{f}_{m(t)} = \sum_{m} \left( \dot{\delta}_{m,m(t)} f_m(t) + \delta_{m,m(t)} \dot{f}_m(t) \right)$$

状態遷移が  $t=t^*$ におこったとする. この時最初の 項は

$$\dot{\delta}_{m(t_{-}^{*}),m(t_{+}^{*})} f_{m}(t^{*}) 
= \delta(t - t^{*}) \left( f_{m(t_{+}^{*})}(t^{*}) - f_{m(t_{-}^{*})}(t^{*}) \right)$$

これは、ジャンプによる変化分を表している 
$$\int_{t_{-}^{*}}^{t_{+}^{*}} \delta(t-t^{*}) \left( f_{m(t_{+}^{*})}(t^{*}) - f_{m(t_{-}^{*})}(t^{*}) \right) dt$$
 
$$= f_{m(t_{+}^{*})}(t^{*}) - f_{m(t_{-}^{*})}(t^{*})$$

 $\blacksquare s(t)$ の時間変化を計算すると

$$\dot{s}(t) = -k_B \partial_t \ln P_{n(t)}(t)$$

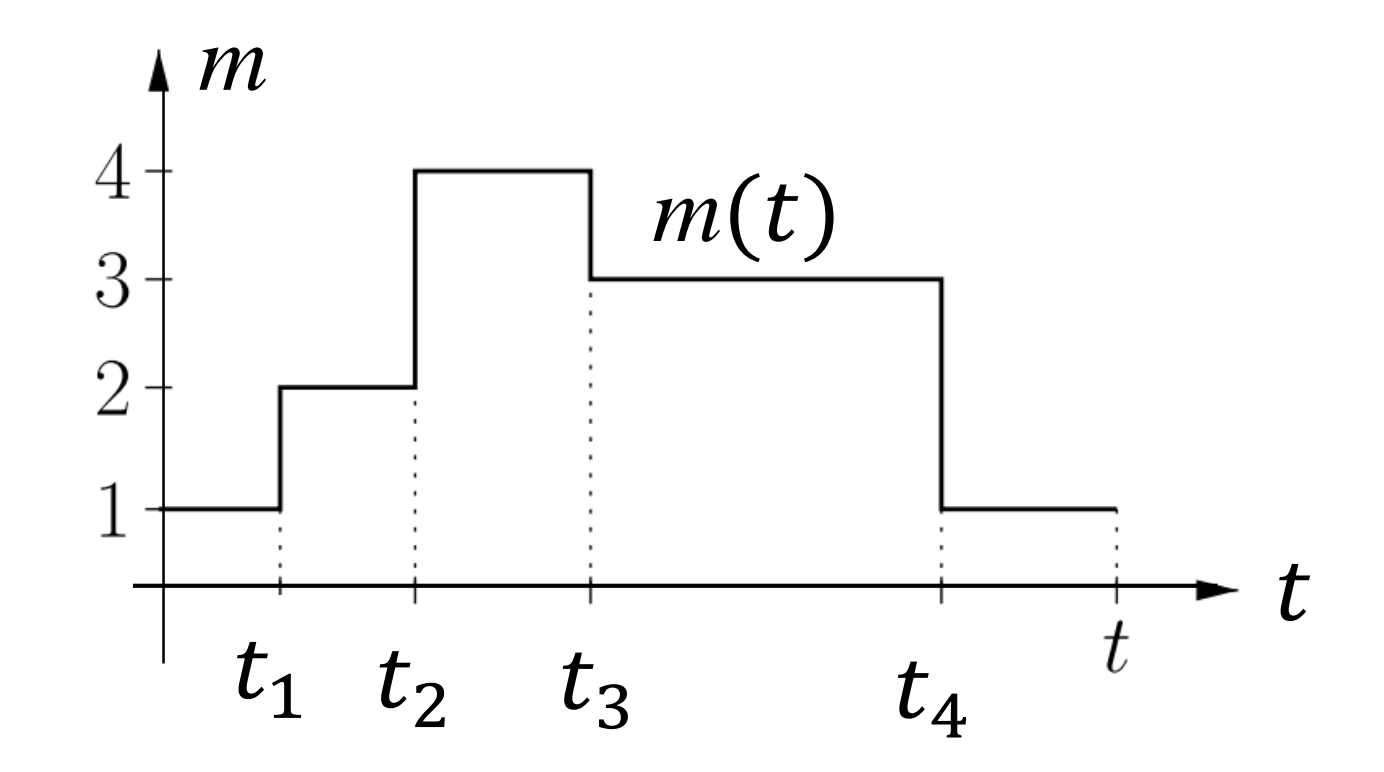
$$= -k_B \sum_{m} \left( \dot{\delta}_{m,m(t)} \ln P_m(t) + \delta_{m,m(t)} \frac{\partial_t P_m(t)}{P_m(t)} \right)$$

ここで、後ろの項は以下のようになる

$$\sum_{m} \delta_{m,m(t)} \frac{\partial_t P_m(t)}{P_m(t)} = \frac{\partial_t P_{m(t)}(t)}{P_{m(t)}(t)}$$

#### ■前の項は

$$\sum_{m} \dot{\delta}_{m,m(t)} \ln P_m(t) = \sum_{j} \delta(t - t_j) \ln \frac{P_{m_j^+}(t)}{P_{m_j^-}(t)}$$



#### ■まとめると

$$\dot{s}(t) = -k_B \sum_{j} \delta(t - t_j) \ln \frac{P_{m_j^+}(t)}{P_{m_j^-}(t)} - k_B \frac{\partial_t P_{m(t)}(t)}{P_{m(t)}(t)}$$

ここで、以下のように置く

$$\dot{s}_{m}(t) = k_{B} \sum_{j} \delta(t - t_{j}) \ln \frac{W_{m_{j}^{-}m_{j}^{+}}(t)}{W_{m_{j}^{+}m_{j}^{-}}(t)}$$

これはLocal detailed balance assumptionと呼ばれる

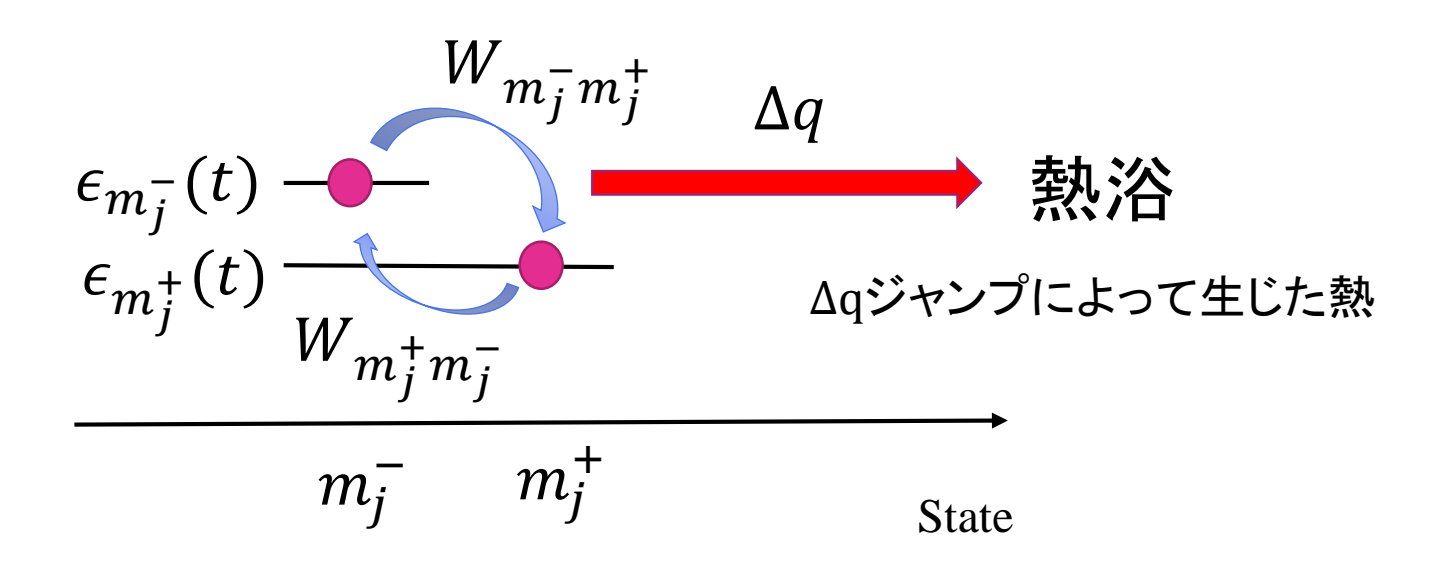
#### 局所詳細釣り合い

$$\dot{q}(t) = k_B T \sum_{j} \delta(t - t_j) \ln \frac{W_{m_j^- m_j^+}(t)}{W_{m_j^+ m_j^-}(t)}$$

$$k_B T \ln \frac{W_{m_j^- m_j^+}(t)}{W_{m_j^+ m_j^-}(t)} = \Delta q$$

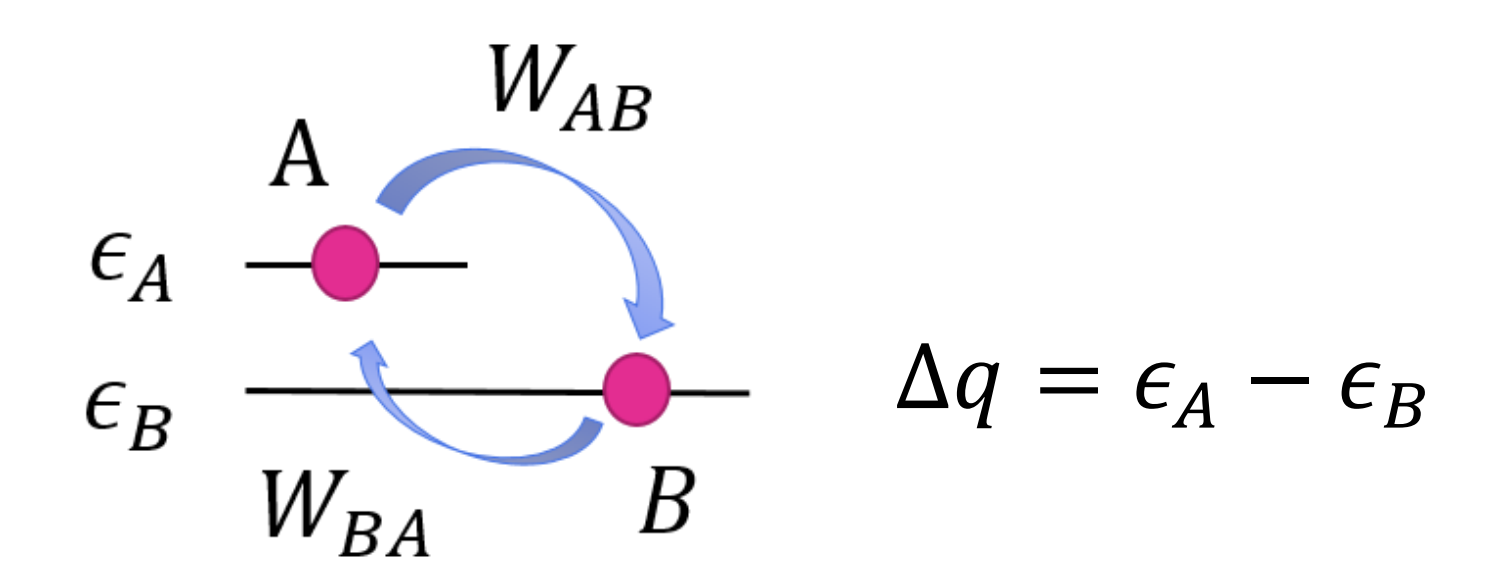
 $k_BT \ln \frac{W_{m_j^- m_j^+}(t)}{W_{m_j^+ m_i^-}(t)} = \Delta q$  前向き、後ろ向きの遷移率の $\log$  比は、熱浴に吸収された熱になる

#### ミクロのジャンプ



#### 局所詳細釣り合い

- 局所詳細つり合いが主張するのは,  $W_{ij}$ と $\Delta q$ は全部を独立に取ることができないということ
  - $\triangleright$  例えば $\epsilon_A \epsilon_B > 0$ で $W_{AB} < W_{BA}$ はありえない



#### 局所詳細釣り合い

- ■局所詳細釣り合いは、マルコフ連鎖と実際の物理的な量をつなげる重要な関係である
- 多くの重要な定理はこの局所詳細釣り合いを使っている

■ これより、全エントロピーは : (t)

$$\dot{s}_{tot}(t) 
= k_B \sum_{j} \delta(t - t_j) \ln \frac{P_{m_j^-}(t) W_{m_j^- m_j^+}(t)}{P_{m_j^+}(t) W_{m_j^+ m_j^-}(t)} 
- k_B \frac{\partial_t P_{m(t)}(t)}{P_{m(t)}(t)}$$

軌跡レベルにおいて、再び以下の関係式が成り立つ  $\dot{s}_{tot} = \dot{s} + \dot{s}_m$ 

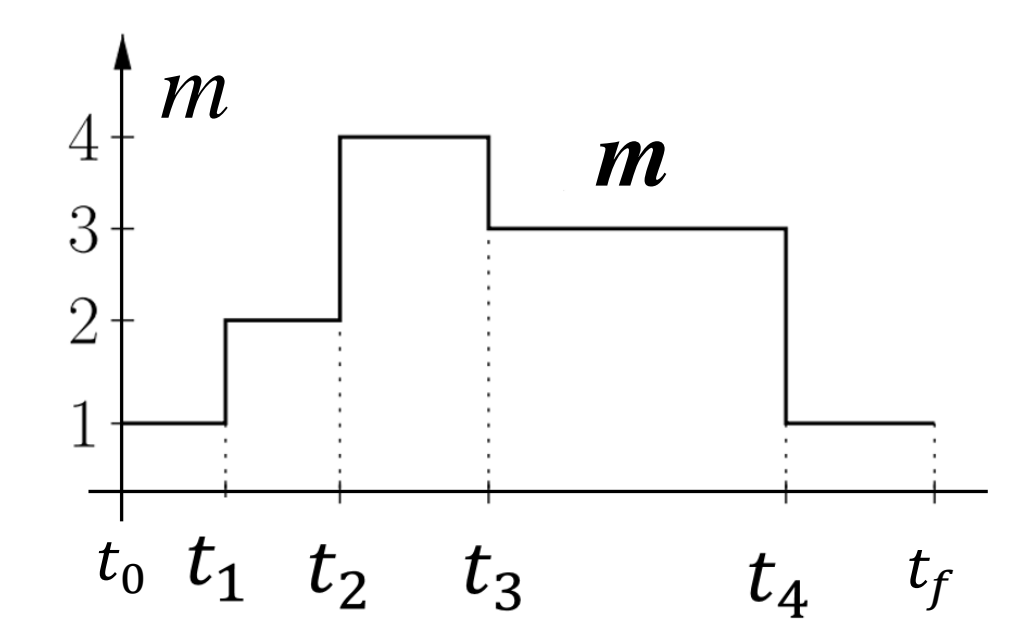
- 時間 $t = [t_i = 0, t_f = \tau]$ とする

  → 最初の時間がtiで、終わりの時間がt¥tau
- *m*をある軌跡とする> これは、ランダム(確率変数)である
- $\mathcal{P}(m)$ を軌跡m確率とする
- 今、~によって逆向きの軌跡というものを定義する  $\triangleright \tilde{t} = \tau t, \tilde{t}_i = \tau t_f, m(t) = \tilde{m}(\tilde{t}), P_{m(t_f)}(t_f) = \tilde{P}_{\tilde{m}(\tilde{t}_i)}(\tilde{t}_i)$
- $\blacksquare \widetilde{m}$  はmの逆向きの軌跡である
- ■ $\tilde{\mathcal{P}}(\tilde{m})$  は逆向き軌跡 $\tilde{m}$ の確率である

### 前向き・後ろ向きの軌跡

$$\mathcal{P}(\boldsymbol{m}) = P_{m_0}(t_0) \prod_{j} W_{m_j^- m_j^+}(t_j)$$

$$\tilde{\mathcal{P}}(\tilde{\boldsymbol{m}}) = P_{m_f}(t_f) \prod_{j} W_{m_j^+ m_j^-}(t_j)$$



■以下の等式が成立することが確かめられる

$$\Delta s_{\text{tot}} = k_B \ln \frac{\mathcal{P}(\boldsymbol{m})}{\tilde{\mathcal{P}}(\boldsymbol{\tilde{m}})}$$

■この関係式は、以下の式と、local detailed balance を用いると簡単に証明できる

$$\ln \mathcal{P}(\boldsymbol{m}) = \ln P_{m_0}(t_0) + \sum_{j} \ln W_{m_j^- m_j^+}(t_j)$$

$$\ln \tilde{\mathcal{P}}(\boldsymbol{\tilde{m}}) = \ln P_{m_f}(t_f) + \sum_{j} \ln W_{m_j^+ m_j^-}(t_j)$$

#### ■ さらに

$$\Delta s_{m} = \int_{t_{0}}^{t_{f}} \dot{s}_{m}(t)dt$$

$$= k_{B} \int_{t_{0}}^{t_{f}} dt \sum_{j} \delta(t - t_{j}) \ln \frac{W_{m_{j}^{-}m_{j}^{+}}(t)}{W_{m_{j}^{+}m_{j}^{-}}(t)}$$

$$= k_{B} \sum_{j} \ln \frac{W_{m_{j}^{-}m_{j}^{+}}(t_{j})}{W_{m_{j}^{+}m_{j}^{-}}(t_{j})}$$

$$\Delta s = -k_B \ln P_{m(t)}(t) \Big|_{t=t_0}^{t=t_f}$$
  
=  $-k_B \ln P_{m_f}(t_f) + k_B \ln P_{m_0}(t_0)$ 

- $\blacksquare \Delta S_{tot}$ の確率は

$$P(\Delta s_{tot}) = \int \mathcal{D}\boldsymbol{m} \, \delta\left(\Delta s_{tot} - k_B \ln \frac{\mathcal{P}(\boldsymbol{m})}{\tilde{\mathcal{P}}(\boldsymbol{\tilde{m}})}\right) \mathcal{P}(\boldsymbol{m})$$

ここでDm経路積分と呼ばれる。これはすべての可能なmに対して足しあげる操作になる。

■ 前のスライドで求めた以下の等式を用いる

$$\frac{\mathcal{P}(\boldsymbol{m})}{\tilde{\mathcal{P}}(\boldsymbol{\tilde{m}})} = \exp\left(\frac{\Delta s_{tot}}{k_B}\right)$$

$$P(\Delta s_{tot}) = \int \mathcal{D}\boldsymbol{m} \,\delta \left(\Delta s_{tot} - k_B \ln \frac{\mathcal{P}(\boldsymbol{m})}{\tilde{\mathcal{P}}(\boldsymbol{m})}\right) \mathcal{P}(\boldsymbol{m})$$

$$= \exp\left(\frac{\Delta s_{tot}}{k_B}\right) \int \mathcal{D}\boldsymbol{m} \,\delta \left(\Delta s_{tot} - k_B \ln \frac{\mathcal{P}(\boldsymbol{m})}{\tilde{\mathcal{P}}(\boldsymbol{m})}\right) \tilde{\mathcal{P}}(\boldsymbol{m})$$

$$= \exp\left(\frac{\Delta s_{tot}}{k_B}\right) \int \mathcal{D}\boldsymbol{m} \,\delta \left(\Delta s_{tot} + k_B \ln \frac{\tilde{\mathcal{P}}(\boldsymbol{m})}{\mathcal{P}(\boldsymbol{m})}\right) \tilde{\mathcal{P}}(\boldsymbol{m})$$

$$= \exp\left(\frac{\Delta s_{tot}}{k_B}\right) \int \mathcal{D}\boldsymbol{m} \,\delta \left(-\Delta s_{tot} - k_B \ln \frac{\tilde{\mathcal{P}}(\boldsymbol{m})}{\mathcal{P}(\boldsymbol{m})}\right) \tilde{\mathcal{P}}(\boldsymbol{m})$$

$$= \exp\left(\frac{\Delta s_{tot}}{k_B}\right) \int \mathcal{D}\boldsymbol{m} \,\delta \left(-\Delta s_{tot} - k_B \ln \frac{\tilde{\mathcal{P}}(\boldsymbol{m})}{\mathcal{P}(\boldsymbol{m})}\right) \tilde{\mathcal{P}}(\boldsymbol{m})$$

$$P(\Delta s_{tot}) = \exp\left(\frac{\Delta s_{tot}}{k_B}\right) \tilde{P}(-\Delta s_{tot})$$
 | ゆらぎの定理

■ ゆらぎの定理より、以下の関係式が得られる

$$\int d\Delta s_{tot} P(\Delta s_{tot}) \exp\left(-\frac{\Delta s_{tot}}{k_B}\right)$$

$$= \int d\Delta s_{tot} \, \tilde{P}(-\Delta s_{tot}) = 1$$

まとめると、以下の等式になる

$$\left| \exp\left( -\frac{\Delta s_{tot}}{k_B} \right) \right| = 1$$

⟨…⟩は期待値を 表す.⟨…⟩≡ E[…]

この関係式は積分型のゆらぎの定理である.

 $1 + x \le e^x$ の関係式を用いると、よく知られた第二法則を導出することができる

$$\langle \Delta s_{tot} \rangle \ge 0$$

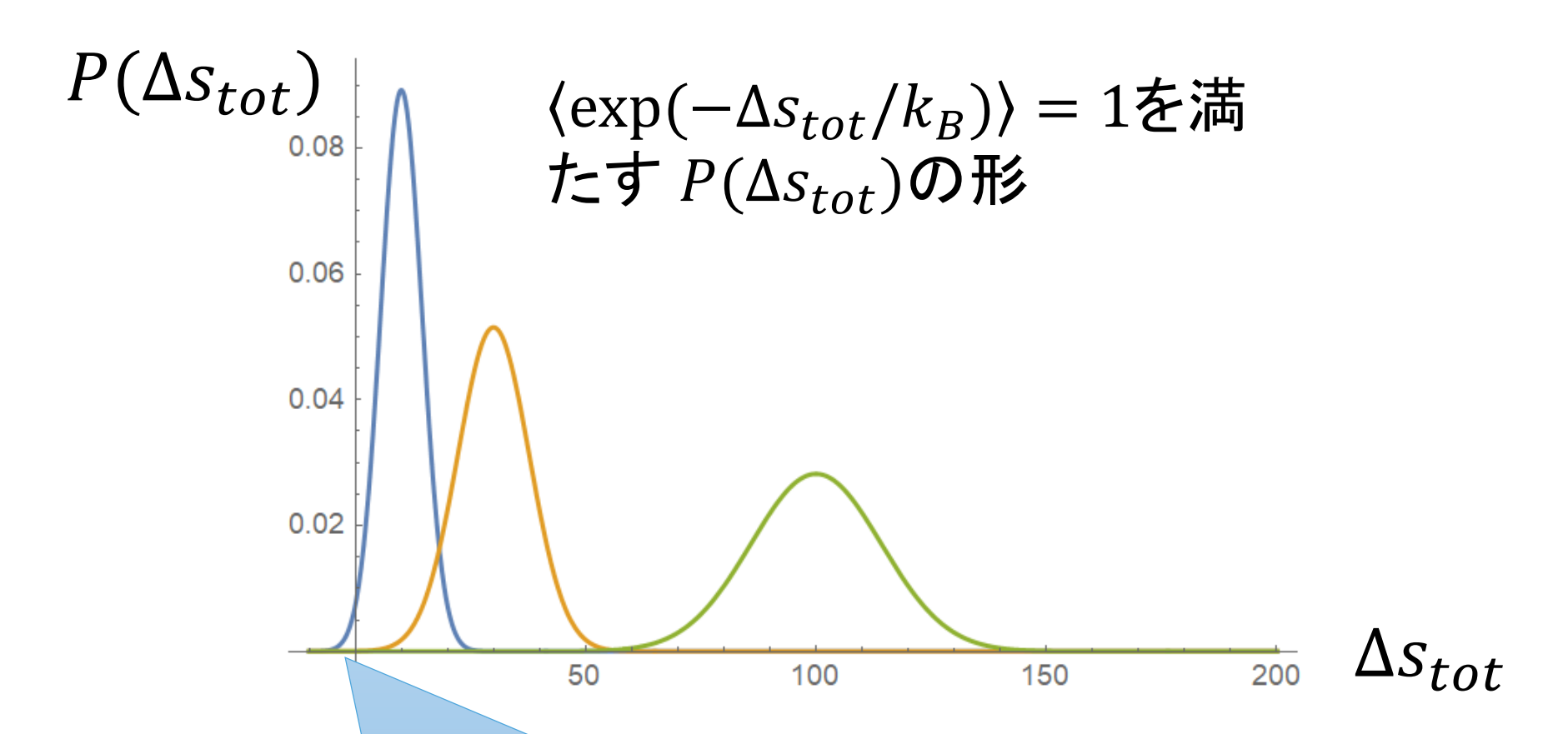
## ゆらぎの定理の結論

- 軌跡レベルでは、全エントロピー $\Delta S_{tot}$ は減少しうる
- ■しかし、平均的には必ず増加する
  - $\triangleright \langle \Delta s_{tot} \rangle \geq 0$
  - → 平均的には、軌跡レベルのダイナミクスであっても、熱力 学の第二法則は必ず成立している
- ■ロシュミットのパラドックスはパラドックスではなく、 そのようにエントロピーが減少するような場合が確 率的に非常にまれであるということが明らかとなった

■ 積分型ゆらぎの定理は以下の式で与えられたの だった

$$\langle \exp(-\Delta s_{tot}/k_B) \rangle = 1$$

- つまり、IFTの関係式は以下の式で表される  $\langle \exp(-\Delta s_{tot}/k_B) \rangle = e^{-\mu/k_B + \sigma^2/(2k_B^2)} = 1$
- $\blacksquare$  さらに計算すると、 $\mu = \frac{\sigma^2}{2k_B}$ という関係式を導くことが可能.



 $\Delta s_{tot} < 0$  となるのは非常に稀である= **軌跡レベルで見ても、第二法則はほと** んど成立している

## Jarzynski equality

- $= t_0 \ge t_f$ において平衡状態である場合を考える.
- FTの場合と同様に、 $\Delta s_{tot} = \frac{w \Delta F^{eq}}{T}$ の関係式をIFTに代入すると

$$\left| \exp\left(-\frac{w}{k_B T}\right) \right| = \exp\left(-\frac{\Delta F^{eq}}{k_B T}\right)$$

この関係式はJarzynski等式と呼ばれる. 再度 $1+x \le e^x$  より

$$\langle w \rangle \geq \Delta F^{eq}$$

となり、第二法則が導かれている.

■ 歴史的には、この式の方が発見は早い、Jarzynski等式の発見が発端となり、非平衡系における研究が爆発的に進歩した。

## Jarzynski等式の実験のよる確認

[Liphartdt et al. Science 2002]

■前述のように、Jarzynski等式では以下の関係が成り立つ

$$\left\langle \exp\left(-\frac{w}{k_B T}\right)\right\rangle = \exp\left(-\frac{\Delta F^{eq}}{k_B T}\right)$$

- Jarzynski等式を実験によって検証した研究
- RNAを引っ張って、unfold•refoldし、その仕事を計算することで検証している

### 実験の詳細

- 自由エネルギー差をΔGとすると
- 第二法則より $\Delta G \leq \langle w \rangle$   $\flat$  wは系に与えた仕事
- Fluctuation dissipation  $\sharp \cup \Delta G \leq \langle w \rangle \beta \sigma^2 / 2$
- Jarzynski 等式  $\exp[-\beta \Delta G(z)] \le \langle \exp[-\beta w(z,r)] \rangle$
- ■ここで

$$w(z,r) \simeq \int_0^z F(z',r)dz'$$

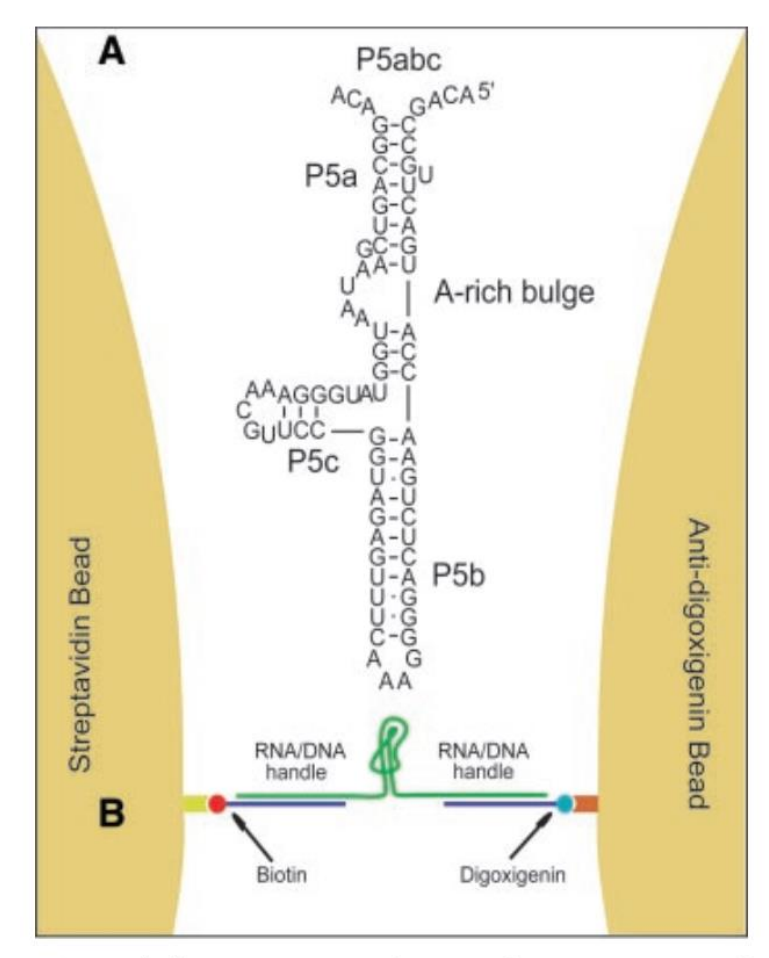
■ *F*(*z*,*r*)はスイッチ率*r*の時,位置*z*の時に系に与えられる力(つまり引っ張る力)

### 実験の詳細

- ■これより、三つの仕事Wを定義する
- $\blacksquare W_A = \langle w \rangle$
- $\blacksquare W_{FD} = \langle w \rangle \beta \sigma^2 / 2$
- $\blacksquare W_{JE} = -\frac{1}{\beta} \ln \langle \exp(-\beta w) \rangle$
- $lacktriangleright W_{JE}$ は $\Delta G$ に一致するはずである。また、非常にゆっくりと引っ張った場合(reversibleな時),  $W_{A,rev} = \Delta G$ となるはずである。

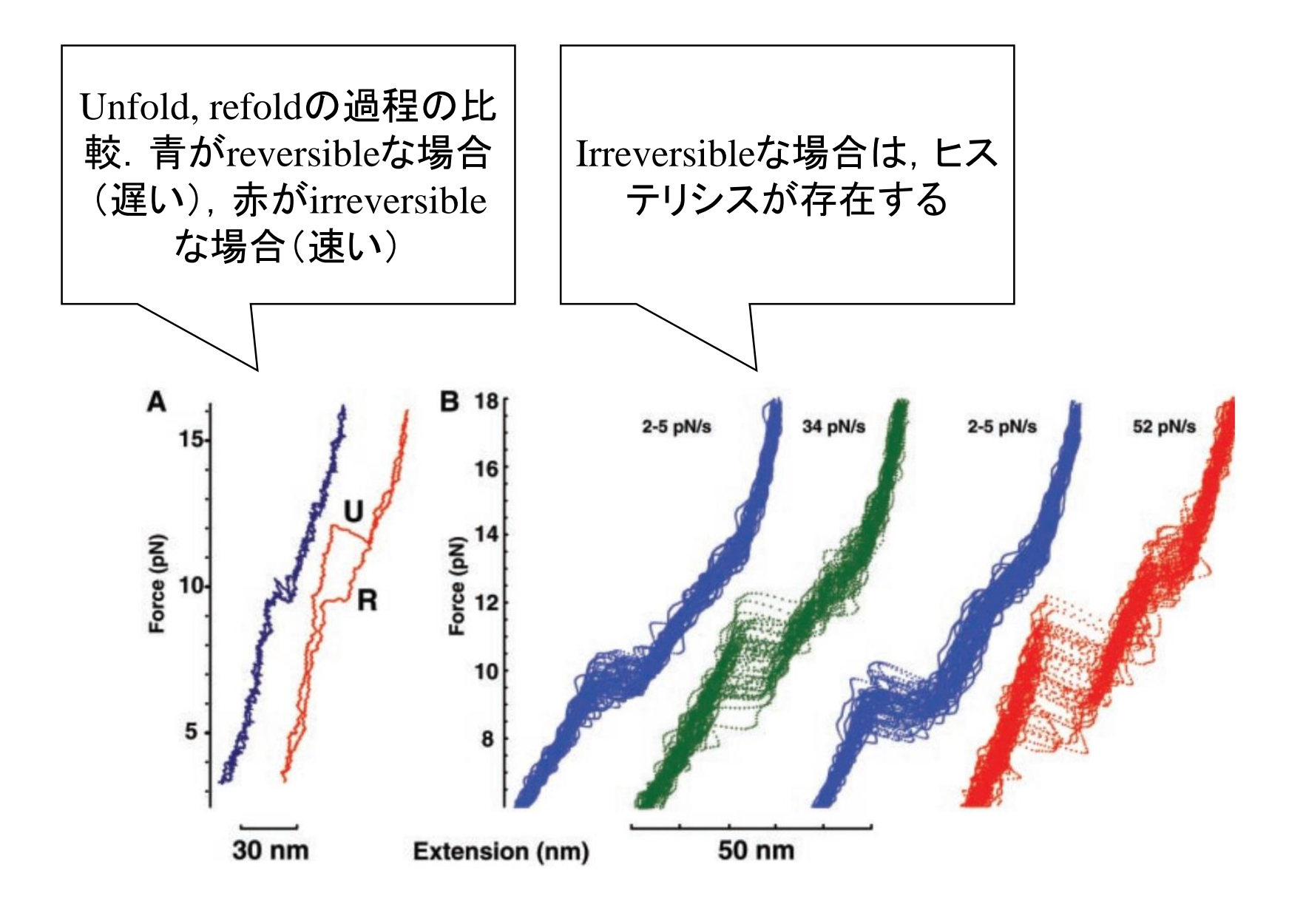
### 実験の詳細

- P5abcというRNAを引っ張 る
  - > それによって, unfoldingと refoldingが起きる
- ■引っ張る率は三種類
  - $\geq 2 \sim 5pN/s$
  - > 34pN/s
  - > 52pN/s

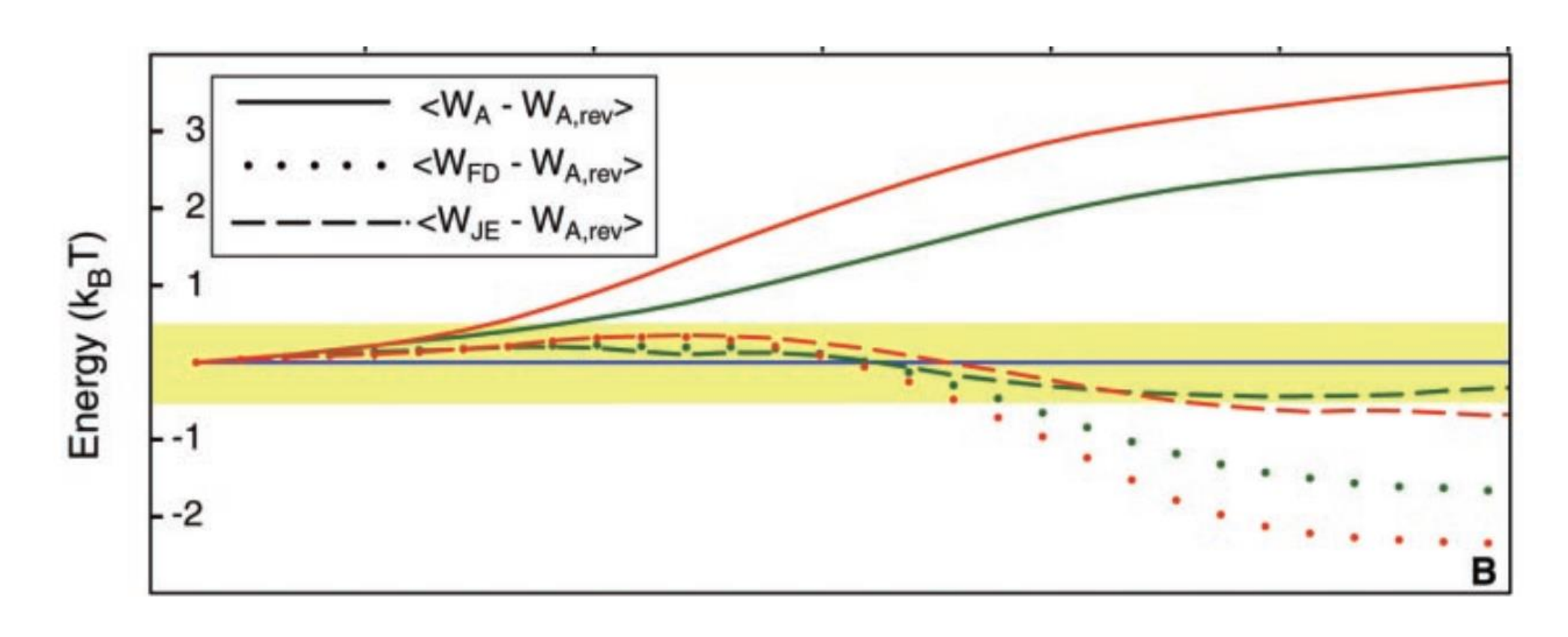


**Fig. 1.** (**A**) Sequence and secondary structure of the P5abc RNA. (**B**) RNA molecules were attached between two beads with RNA-DNA hybrid handles.

## 実験結果

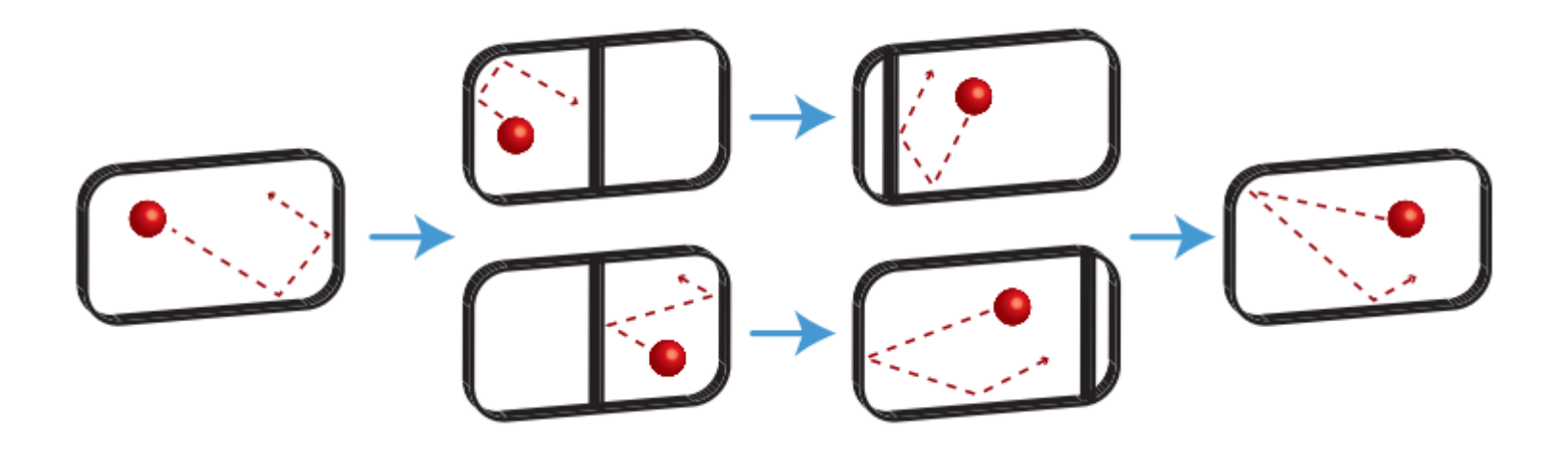


- $W_{A,rev} = \Delta G$ であるので、 $< W_{XX} W_{A,rev} > が0に近いほど、推定が上手くいっていることを表す.$
- W<sub>JE</sub>の結果が一貫して良い数値を与えている. これはJarzynski等式が成立していることを示唆している



## 情報と熱力学

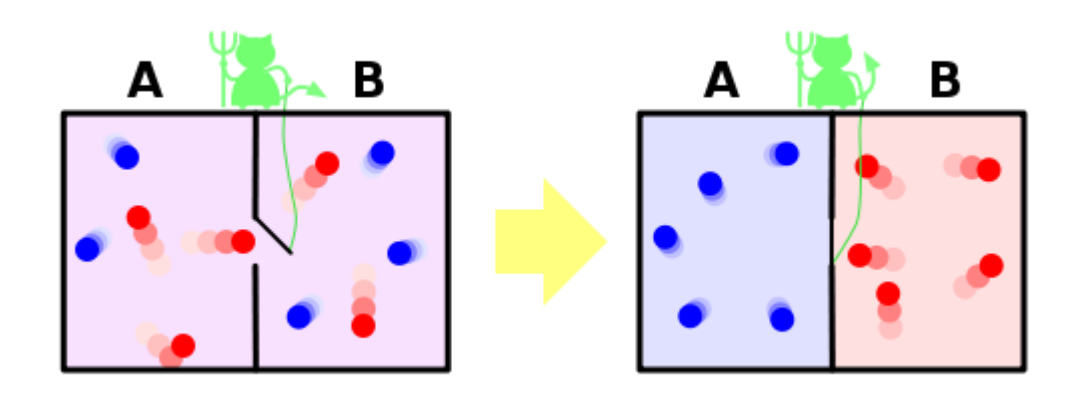
■ 観測を行い、フィードバックすることで、エネルギー を取り出すことが出来る?



Thermodynamics of information, Nature Physics, 2015

#### マクスウェルの悪魔

- 小さな穴の空いた仕切りで2つの部分 A, B に分離し、分子を見ることのできる「存在」がいて、この穴を開け閉めできるとする.
- この存在は、赤い分子のみを A から B へ,青い分子のみを B から A へ通り抜けさせるように,この穴を開閉するのだとする [Wikipediaより,一部改変]



## 走化性と情報



https://www.youtube.com/watch?v=XMd4H8T59mM

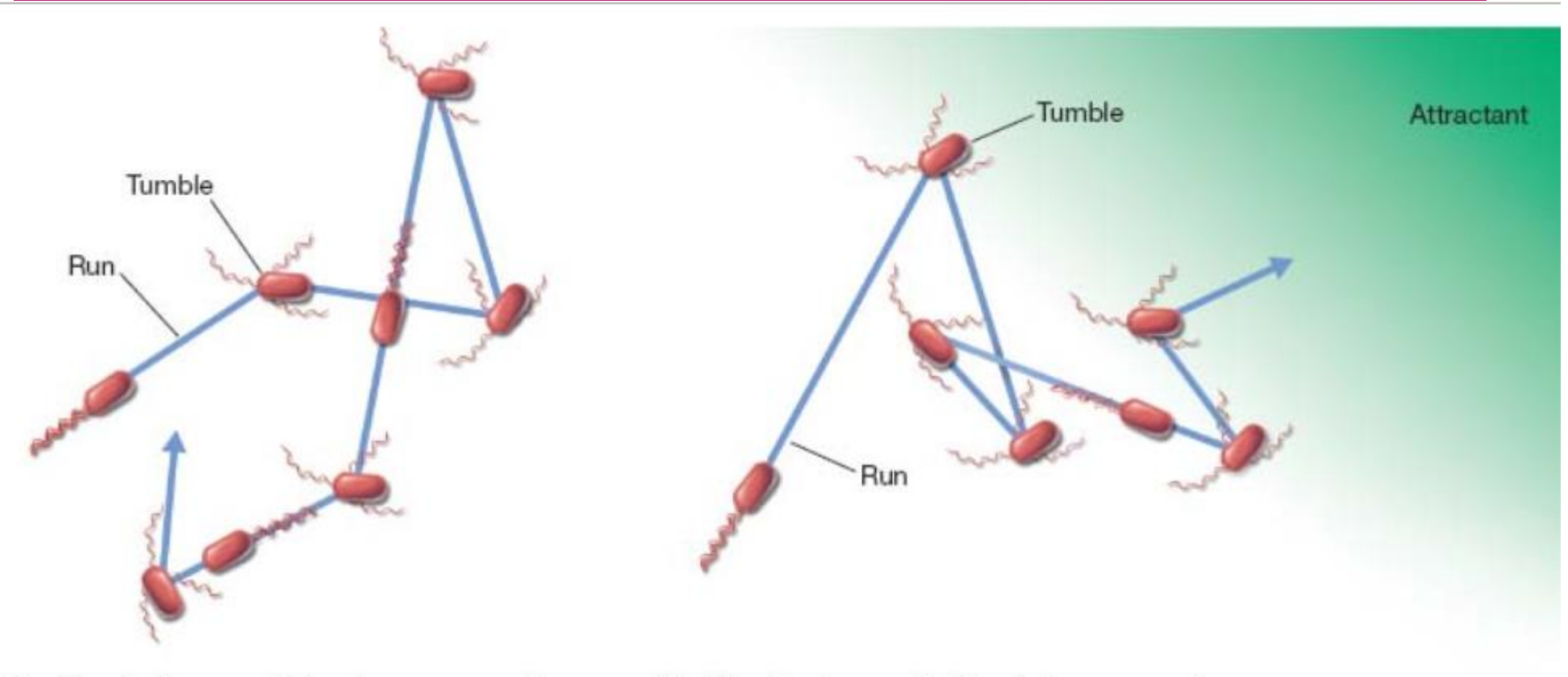
#### 走化性

- ■どのように、濃度勾配を観測するか?
  - ▶ 前後を見ずに(濃い濃霧の中など), 登山中に山の勾配 をどのように知るか?
- ■主に二つの方法がある
- 1. 細胞の前後での濃度を比較する方法
- 2. 移動して、移動した位置と移動する前の濃度を比較する方法

#### 走化性

- ■バクテリアには二種類の動きがある
  - ➤ Run: 直線に移動する
  - ➤ Tumble: ランダムに方向転換する
- バクテリアは、濃度が上がる方向に移動する場合はRunを継続し、Tumbleはあまり起こらない
- ■逆に、濃度が下がる方向に移動する場合、Runは短く、Tumbleが起きやすくなる
- ■情報を用いたランダムウォークとなる

# 走化性



(a) No attractant present: Random movement

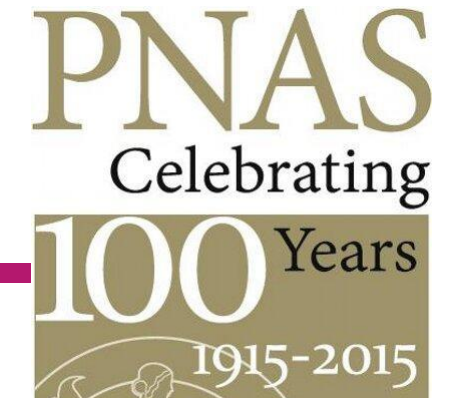
(b) Attractant present: Directed movement

© 2017 Pearson Education, Inc.

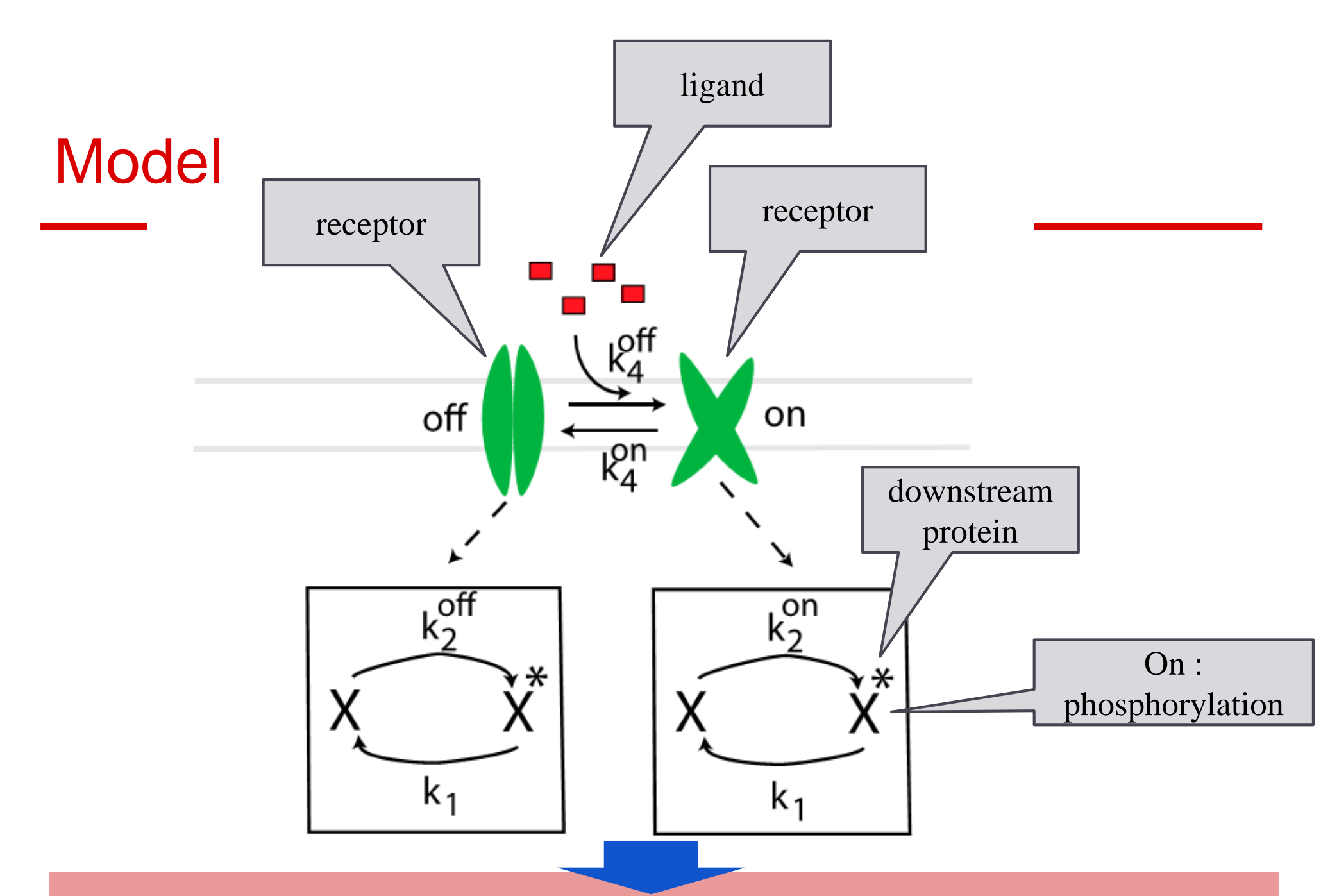
#### 確率熱力学の生命現象への応用

- ■近年,確率熱力学は生命現象の理解に適用されている
- 多くの研究は、エネルギーと機能の関係に注目している

## 推定とエネルギーの関係

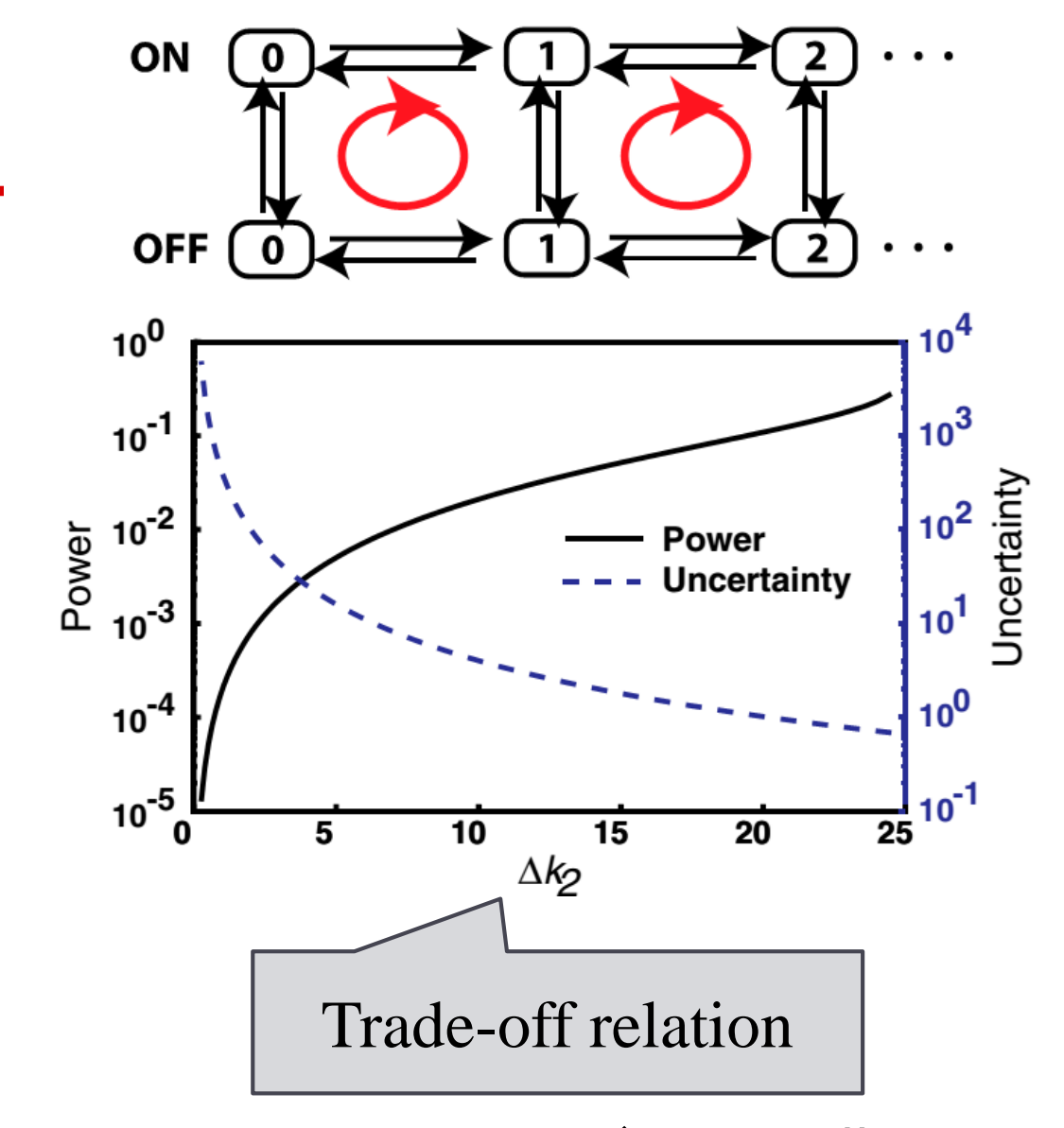


- "Energetic costs of cellular computation", Mehta, Pankaj, and David J. Schwab. Proceedings of the National Academy of Sciences 109.44 (2012): 17978-17982.
- ■細胞の計算におけるエネルギー消費量は, リソースの少ない環境における機能性に大きな影響を与える



Ligand concentration can be propagated to states of downstream protein

#### 結果



$$\Delta k_2 = k_2^{
m on} - k_2^{
m off}$$

環境の観測のためにはエネルギーを消費する必要が ある

## 情報伝達とエネルギーの関係

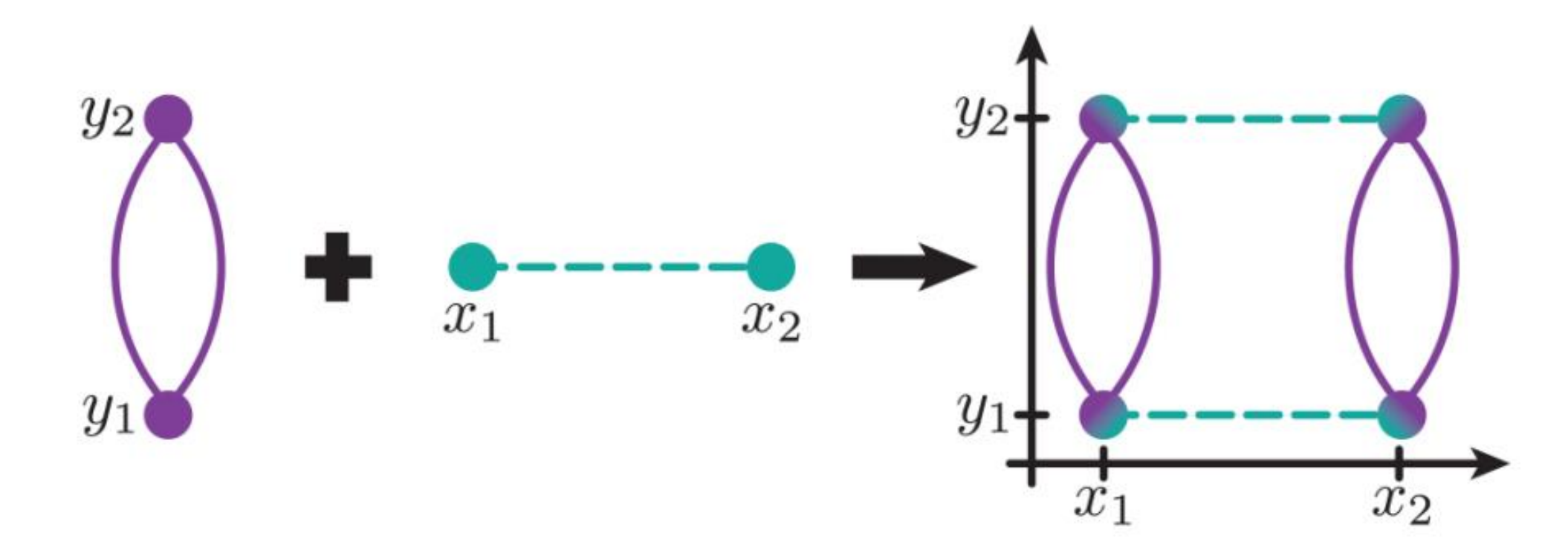
- 多くの情報量を伝えるには、多くのエネルギーが必要そうではある
- 確率熱力学を用いると、実際にこの関係式を導き 出すことが可能



外界のシグナル分子の状態によって, 内部のたんぱく質の状態も変化する

- シグナル伝達をBipartite Markov processによってモデル化
- X: 外界のシグナル分子のダイナミクス
- Y:内部のたんぱく質の状態

## Bipartite Markov process



[引用] Jordan M. Horowitz, Massimiliano Esposito "Thermodynamics with Continuous Information Flow"

#### 一般化第二法則

孤立系でのエントロピー変化

熱エントロピー変化

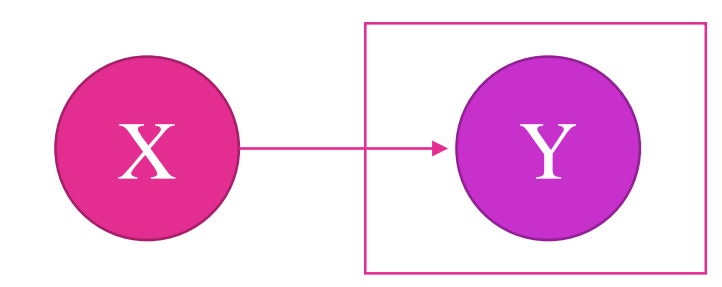


$$\Delta S_{tot} = \Delta S + \Delta S_m \ge 0$$

全エントロピー変化

Shannonエントロピー変化

部分系でのエントロピー変化

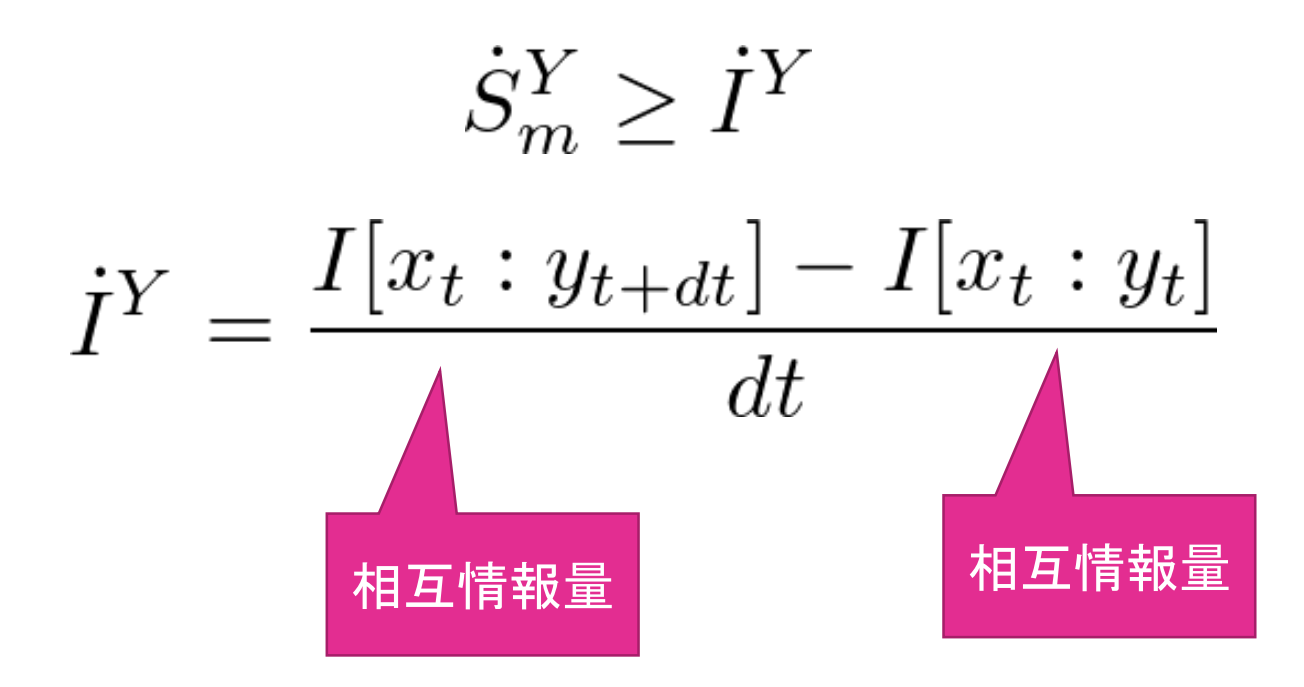


$$\Delta S_{tot}^{XY} = \Delta S^{XY} + \Delta S_m^{XY} \geq 0$$

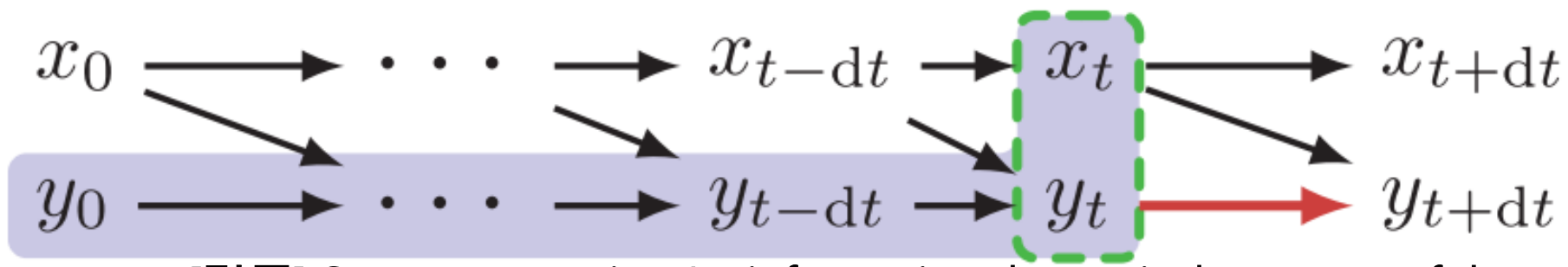


$$\Delta S_{tot}^Y = \Delta S^Y + \Delta S_m^Y \ge \Delta I^Y$$

#### Learning rate



つまり, どれだけ, 外界に関して学習しているかを表す率



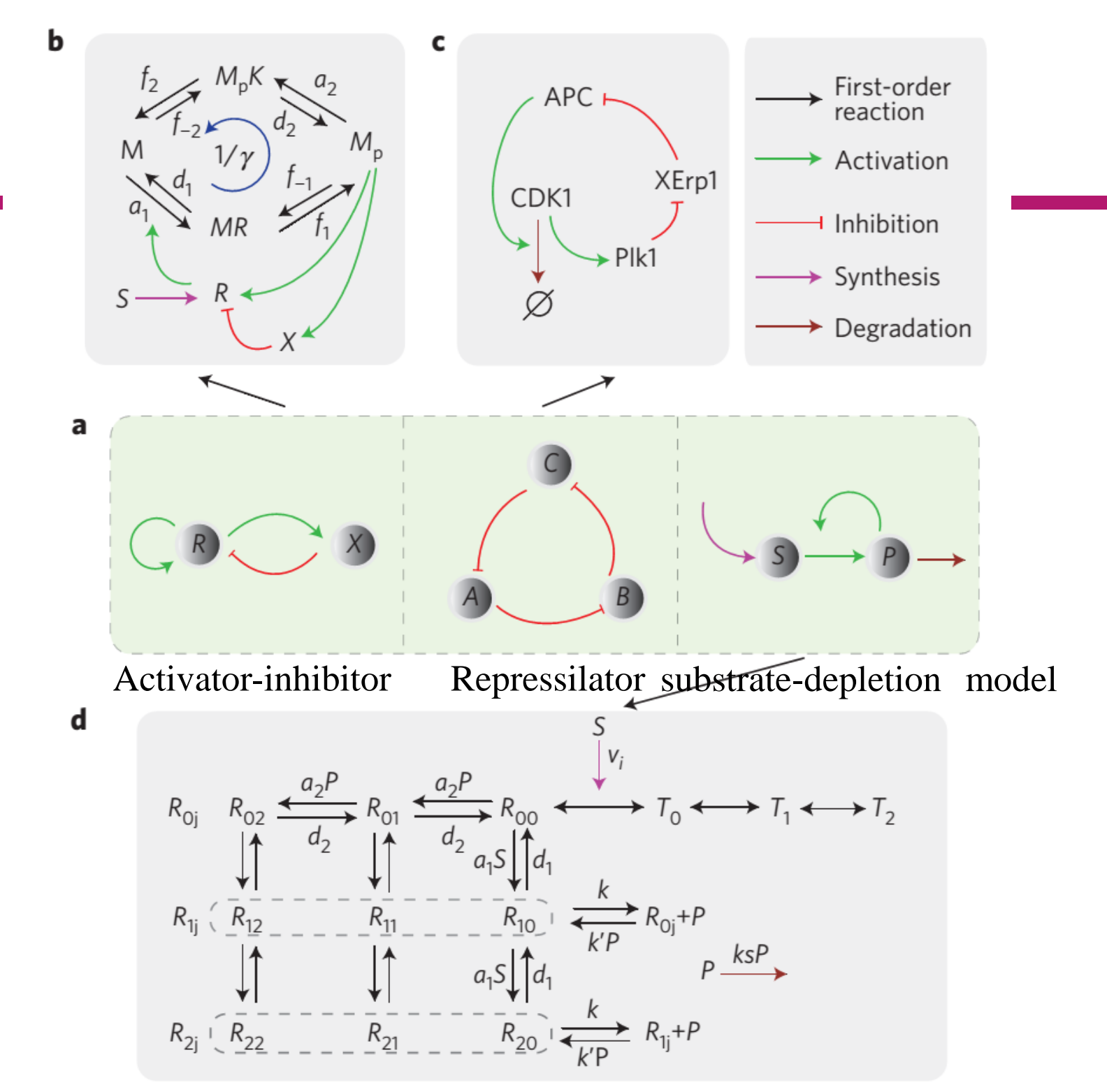
[引用] Sensory capacity: An information theoretical measure of the performance of a sensor

#### Learning rate

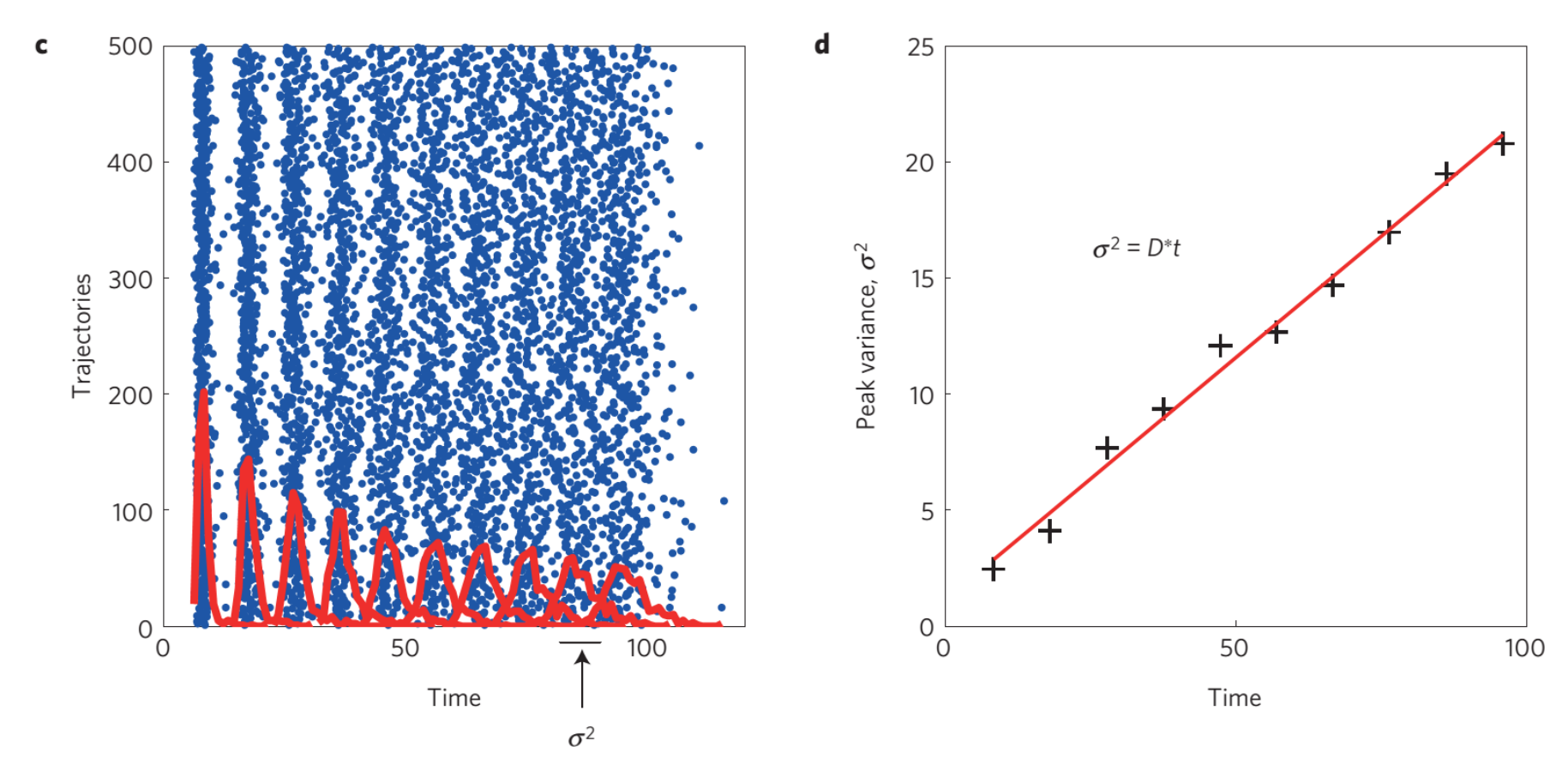
- 細胞が外界のシグナル分子濃度に関して学習する 率は、内部のエネルギー消費量によって上限が決 まっている
  - ▶ 内部のエネルギー消費はこの場合, リン酸化・脱リン酸化・化に伴うエネルギー(ATPの加水分解)

#### 振動とエネルギーの関係

- ■今まで述べたように、情報伝達とエネルギーの関係は明らかとなった
- ■では、振動の正確さとエネルギーには関係はあるのか?
- ■予想通り, 正確な振動にはより多くのエネルギー が必要となる

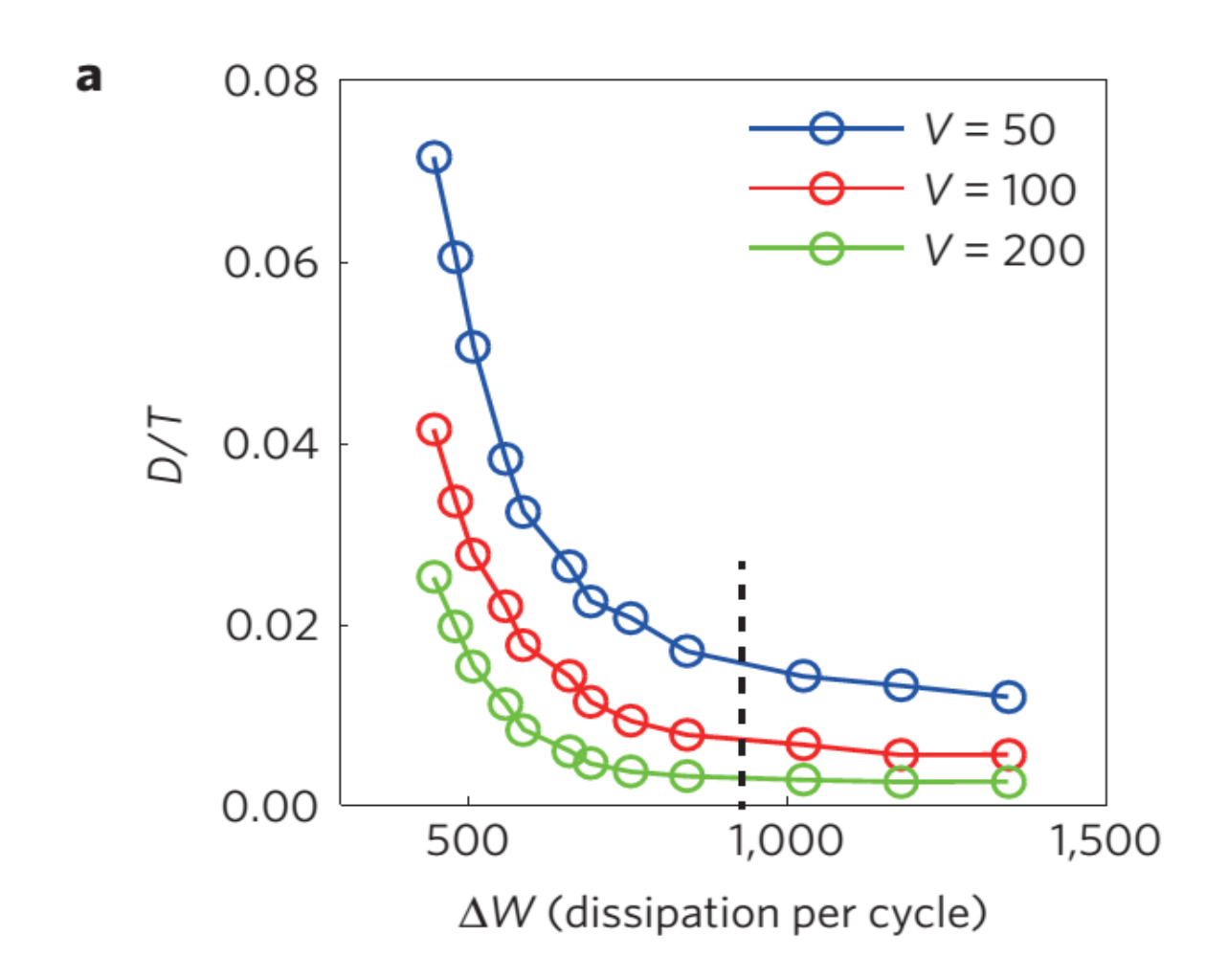


## エネルギーと正確さ



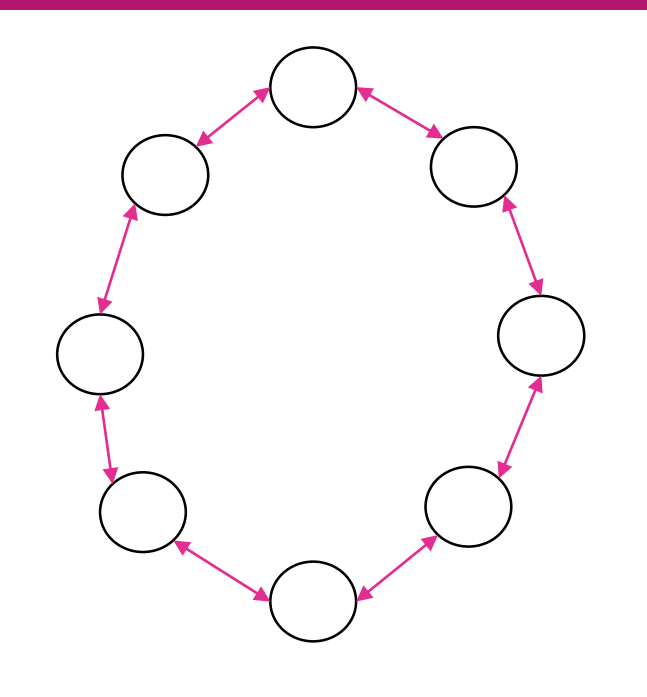
- ■時間とともに、周期の分散は線形に増加する
  - "The free-energy cost of accurate biochemical oscillations"
    - Ø Yuangshen Cao et al.
    - > Nature Physics, 2015

## エネルギーと正確さ



■ エネルギー消費が多くなると、 周期の分散が小さくなる

## 直感的な理解



- ・ 確率的な化学反応は、状態間の確率 的な遷移と考えることが可能
- 振動なので、元の状態に戻るが、展開すれば、一次元のランダムウォークになる

 $W_{CW}$ :時計回り方向の遷移率

W<sub>CCW</sub>:逆時計回りの遷移率

L:状態間の距離

$$V = \lim_{t \to \infty} \frac{\langle X \rangle}{t} = L(W_{CW} - W_{CCW})$$

$$D = \lim_{t \to \infty} \frac{\langle X^2 \rangle - \langle X \rangle^2}{2t} = L^2 \frac{W_{CW} + W_{CCW}}{2}$$

## 直感的な理解

- 一周を1として、状態数がnとするとL=1/n
- 速度Vが一定(時計の進む速さが一定)だとすると

$$D = \frac{V}{2n} + \frac{W_{CCW}}{n^2}$$

つまり、nは大きく、 $W_{CCW} \rightarrow 0$ であれば時計は正確になる.

■ Local detailed balance assumptionより、一回のジャンプによって発生する熱は

$$\Delta q = k_B T \ln \frac{W_{CW}}{W_{CCW}}$$

これより、nが大きく $W_{CCW}$ が小さいほうが発生する熱量は多い. 熱は化学反応(ATPの加水分解)によって発生するので、消費エネルギーも多くなる

### 参考文献

- U. Seifert, Stochastic thermodynamics, fluctuation theorems and molecular machines, *Rep. Prog. Phys.*, 2012, vol.75, 126001
- Van den Broeck, C. & Esposito, M. Ensemble and trajectory thermodynamics: A brief introduction, *Physica A*, 2015, vol.418, pp.6-16
- F. Ritort Nonequilibrium fluctuations in small systems: from physics to biology *Advances in Chemical Physics*, Wiley publications, 2008, vol.137, pp.31-123

## https://goo.gl/zpnkqz

- 生物と工学・物理・数学の境界領域を扱っている工学系, 物理系, 生物系等の論文(英語論文であること)を読み, それらの特徴からどの様な結果が得られているかレポートする. 論文の概要, 考え方の根拠, 観測・実験結果などがわかるように説明すること.
- 関連する論文を2本以上読むこと. なおレポートの長さは3ページ以上とし、PDF、Word ファイルなどの電子データで提出する.
- なお, スカスカなレポートは分量不足とみなす